

PNC T 12602 87-002

高速炉炉体半面遮蔽効果評価実験、工。

-----陽子反応型飛跡検出器とその遮蔽70%
ストリーミング実験への応用 -----

昭和62年 3月

受託研究報告書

東京大学 工学部 原子力工学科

1月 20日.



目次

- 要旨
1. 序
 2. 阳子反跳型程核验器
 - 2.1 原理と測定原理
 - 2.2 感度と方向依存性
 - 2.3 高エネルギー反跳陽子に対する CR-39 検端の感度
 3. 燃料集合体下部遮蔽 γ -線ストリーミング実験
 - 3.1 実験方法
 - 3.2 ストリーミング実験体系
 - 3.3 測定結果
 4. 結論

Appendix

延伸 β 運転位置 γ -ストリーム内に漏洩する
高速中性子ビーム線源とその特性。(UTNL-R-0188).

要旨

ポリエチレン板・ラミネーターと CR-39などのオウカーボン
セイト板を組合せた陽子反跳型の固体检测器
検出器は、高速中性子の個人モニターとして
保健物理分野で、近年、盛んに研究され
利用されつつある。

この検出器は、素子のサイズも小さく、かつ
約0.1 MeV以上、高速中性子のみを高感度で
検出できる可能性を持つており、遮蔽実験
特にストリーミング実験に有用であると思われる。

ニニエー1# Am-Bc や 14MeV 中性子源を用いた
校正実験により、3% 感度の精度、方向
依存性を検討した。

次に、この検出器を FBR 燃料集合体の下部の
遮蔽フランクのストリーミング測定に利用した。

得られた主な結論は次のとおりである。

1. この検出器は、遮蔽実験に使用できる。
精度は、相対測定を行う場合 5%以下
絶対値の比較を行う場合は 20%以下と
思われる。
2. 高速中性子フレンスとして $5 \times 10^7 \text{ n/cm}^2$
 $\sim 10^8 \text{ n/cm}^2$ の照射が適當である。
3. 入射方向依存性がある (20% 程度)
すなへん、垂直入射は近い条件で用いらねがる。

(1)

4. ^{14}He 中性子線源を用ひ、水素を含有する
液体内に測定を行ふ場合は $0.5\text{mm}/\sqrt{\text{g}}$
程度の分子活性化率まで可及的か
である。
5. 遮蔽 7.37×10^{-3} センチメートル実験に利用した
とくに減衰半周期やストリーミング係数を
求めることで有用であることがわかった。

(ii)

1. 序

近年 高速中性子の個人モニターヒューズ CR-39など
を用いた陽子反跳型飛跡検出器が発達した
ところ。この検出器は電子のサイズ(100
ナノメートル以上)の高速中性子の判定高感度で
検出できることを特徴としている。

遮蔽実験の分析では 総じて高速中性子の
測定は しまし放電化器や、核分裂計数装置
や NE213 液体シードレータを用いていた。しかし
前者は 感度が低く、原子炉出力が小さい
場合には測定できなかつた。又総じては、上述と
並列で個人ヒューズ、ヒューズ 検出器のサイズも供試体との
相互作用が無視できるほど大きくなつた。

3年生は出力が小さいので、高感度 小型
の高速中性子検出器が遮蔽実験のためには有望であ
つた。工記。陽子反跳型飛跡検出器
は、この要求を満たす可能性がある。ニセコ
測定精度などの点で、この検出器が、遮蔽
実験に用いられ、石川で校正実験により検討し
てからストリーミング実験に応用する。

対象とするストリーミング実験体、FBR炉心集合体
下部のしゃべりフランクである。このフランクストリ
ーミングは、毎年10年前に3年生で測定された二種類
あるが、それと設計上の最重要項目の一つである。

ニセコは 3年生 フラストコムに提出する高速中性
子ビームの半価幅をかぎりなく狭く制限しておいて、この
ビームを用いて、以前は 3年生による
この実験に使用した供試体を 今回は

77-2トコラム1=セット12 ストライシングを判定した。

アホ、JASPER計画でも遮蔽フランジのストライシング実験の計画を中心とした。3年生では直接設計に着手しデータを3年生が持つ。計算方法は金剛の検討のしやすさでデータを書きこむと目的とした。計算との比較がやりやすい小型。体重を同じくする。

2. 陽子反跳型飛跡検出器.

2.1 構成と測定原理

陽子反跳飛跡検出器は、高速中性子によく反跳化した陽子がプラスチック表面に1下り飛跡を測定し、高速中性子フレンスを示すものである。

この構成は、水素原子を含む材料の板と飛跡を作らせる材料の板を密着し重ね合せておいたもの。これを照射線部分離し、飛跡をエッジングした後、計数を行なう。

近年保健物理分野での高速中性子個人モニタとしての用途のために開発され、すでに市販されている。

日本では4代目保安用品(株)と長瀬ランダード(株)より、3種類で市販されている。

前者の構成は、1mm厚のポリエチレン板(0.5mm厚の2枚重ね)と約1mm厚CR-39と呼ばれる不二カーボネイド板を密着させておいたもの。

その大きさは、1cm×2cmである。

照射線強アルカリ性液体で飛跡のみをCR-39板をエッジングし、1cm×2cmの飛跡計数装置を用いて自動計数を行なう。計数してから、1cm×2cmの板を1方向(立筋または横筋)0.5~1mmと約5mmの部分(二つは素子の位置が違う)を除いたヒンジ部(二つ長さ中1cm中の部分)と5本の筋で81-70L計数(2112.1cm中733.47%)、約5mm×0.5~1mmの部分を除かれて113。

29より31=12 算数1=使用中の面積は $0.23 \sim 0.4 \text{ cm}^2$ である。

一方 読者(長澤ランダウア)の意見は、
 1mm $\frac{1}{8}$ のホリエチレン板に やすりを 1mm $\frac{1}{2}$ の
 ホリカーボネット板を重ね合せたものである。
 ホリカーボネットとこれは $3 \times 10^{-13} \text{ CR-39}$ が
 用いられており、パラゲラウント(当社が販売する)
 4× TS-1Wを現在は用いている。電子のサイズは
 4代田保安のものよりは子孫は $1.5 < 5 \text{ mm} \times 1 \text{ cm}$
 である。エッティングは やすり 強アルカリ、溶液で
 行うが、4代田保安のものほど強くはない。算数は
 目視で行なっている。読み取りは 使用中の面積は
 3.363 mm^2 と 4代田保安のセドリ 1.5 \times
 算数の統計精度をかせぐという観点では欠点
 である。一方 長澤ランダウアの CR-39を使った
 1日17.9 売子は CR-39とホリエチレンとの間に
 薄いマイラー膜をはさんで CR-39を保護している。

2.2 感度と 39 方向依存性

検出器の感度は

- ① 電子の構成
 - ② エッティング条件
 - ③ 読み取り方法。
- 1-1 各存在する

まず 電子の構成に関する212. ホリエチレンと ホリカーボ
 ネットの間に マイラー サランラバのようないわゆる薄い
 膜を用ひるといふのが、最も確実である。又、11.7
 5-2をついた状態では、5-2にとどけ生じる反跳陽子

影響か高エネルギー中性子照射の場合に生じる可能性
がある。

次に工件を条件1=開け口。二段の測定、
温度、工件の厚さ=5mm。測定下限が多少
可能となる。

飛跡の言叶取扱い方法は二通り、自社の場合は
陽子に対する飛跡の判別で、測定下限を近くで取
ること有利となる。測定下限は高いほど有利
又、説明欄には所持回数が多いと測定誤差が利
用されないなど、欠点がある。一方アーチー
を以て、機械説明取扱いする場合は上述した
欠点はないが有利。測定下限は少し高い。

以上の会社の電子線装置の感度は電離分解の1/10
CR-7を用いたものである。図2.1は450回
保有の電子の感度のエネルギー依存性を示す。
この電子の場合には約1.2~1.5MeVを(2.5)⁻¹
以下で飛跡を、機械式自動説明取扱いを行なう。
0.1MeV以上で感度が減少する
立上がりが見られる。図2.2はTS-1218
よりのCR-39を用いた1日あたりの電子の感度、
エネルギー依存性を示す。図3.3はTS-16を用いた
現在の電子のエネルギー依存性を示す。
自社で説明取扱いは2.5MeVまで感度
がある。实用時1~1.5MeV付近より下限である
)前記した感度は依存性3%の因より得
たもの。このことから、遮蔽実験使用時1.2~1.5
MeVの因より感度曲線を取ると1.5%と同一

$I = L_2$ 測定するに加重要である。なお現在の
 $\chi = 3$ 測定は 342.4 各会社に 素子を返送して
 37.2 もらってあるので、342が正しく行かなければ
 $\chi = 3$ 完全な保証はないが、測定は
 $Cf-252$ を用いて校正照射してから 実験に
 $\chi = 3$ 使用した素子は既せて同時に処理 測定する
 $= 27.2$ 、二つで 4 エック すなはては 27.3。

高速中性子の入射方向に対する感度の倍率を
 $L_2 = 41.4$ 保証の $\chi = 211.2$ 図 2.4 か?
 長波の $\chi = 3$ 、半回ランダムスケル $\chi = 2.12$ 図 2.5 か
 考慮すれば 27.3。

素子の感度のエネルギーと 方向倍率 $\chi = 211.2$ は
 千代田保安の $\chi = 211.2$ は、11.4-2 の無い
 条件で $\chi = 3$ を測定する必要があり、長波ランダムスケルの
 $\chi = 211.2$ は $14 MeV$ 中性子に対する感度を測定
 する必要がある。 方向倍率 $\chi = 211.2$ は 両者とも
 測定する必要がある。 二つの測定を行った。

以下 千代田保安の素子を CR-39,
 長波ランダムスケル 素子を TS-16 で測定した。
 (以前は TS-11 と呼んでいた。)

また Am-Be 線源を 1411.2. CR-39 と TS-16
 検出器の感度と 方向倍率を測定した。

照射体を 図 2.6 に示す。

照射は 350 箱 実験準備室の "レーティング" 上で
 行い、Am-Be 線源は 50 cm 離して CR-39 と
 TS-16 をセットした。

素の面に直角に入射する場合を 0° とし、角度を
度数で表すことを 度数表示法。 180° は裏返し。
EPM、ホーリング側で $\pi/2 < \theta < \pi$ 。CR-39 例では $11^\circ \sim 111^\circ$
入射する場合 $\theta = 0^\circ$ 。度数表示法を取
ったが、 $11^\circ \sim 111^\circ$ の場合 $11^\circ \sim 111^\circ$ 。
1コ入射したとき 50cm^2 の面上に お互いに直角に
設置した。

CR-39 検出器の測定結果を 表 2.11 = TS-16
検出器の結果を 表 2.21 = 示す。

表 2.19 CR-39 の測定結果を度数表示法
310 の度数の測定値のはらつきは 90° の場合を除いて
 $\pm 5\%$ 以内であり、遠隔実験室での測定要求精度
を満たしている。 90° の場合は度数表示法に中性子の
入射方向と平行にはずれが大きいか、たとえば $11^\circ \sim 111^\circ$
より大きくなつたと思われる。

入射角度 $\theta = 111^\circ$ の値を除いた場合の度数を
 $\cos \theta$ (θ は度数)。除いた値を $\theta = 0^\circ$ の値より
小さく。詳細な測定の結果によれば二の角度表示法と
度数表示法ではほとんど同じであるが、結果は垂直な
单位面積当りの感度の $11^\circ \sim 111^\circ$ は 20% 以内であり、
より大きな $11^\circ \sim 111^\circ$ の場合の感度とスカラ
ー中性子束をかけ、度数の反応率を求め、これを
実験値と比較して議論することもできる(図 3)。

$11^\circ \sim 111^\circ$ の場合が $11^\circ \sim 111^\circ$ の場合
に比べて約 13.4% 感度が $11^\circ \sim 111^\circ$ の場合より
よくなつた。 $11^\circ \sim 111^\circ$ の高速中性子の減衰は、
除去断面積を $D_{13} = 0.13\text{cm}^{-1}$ $4-2\text{mT}$ で $2\text{mm} \approx 1.1$
 $\exp(-0.13 \times 0.2) = 0.974$ である。Amb. 程度は $11^\circ \sim 111^\circ$ の場合。

吊下用音器(布団の35mm厚いのλ=2117°ラスチ, $\frac{1}{\rho}$ 約100)は
入射方向より、密器の径が3cmと大きさの2"中2"98%η。
位置は不固定である。俗に1cm厚2117と12 ($\frac{1}{\rho}$)²=1.083
の値のみで測定値を出力する影響を及ぼす。

たゞ、Am-Beの場合中性子エネルギーは100keV, 20MeV
γ-2トドリ放出エネルギーの測定陽子はCR-39=トランジスタ
1217至5トドリ。

CR-16検出器のAm-Be84%ηは正結果を
表2.21示す。感度12.000 Ω Z² T余12t O² 91E
1217±5%11.3%12. CR-39の場合比較的
FC10X2117。又180°の場合(裏面の場合)
の感度の0°の場合に対する感度は0.623
である。CR-39の場合12.0.662とある。
11t±5%12とあるが、これはCR-39や
TS-16中のHの密度とホウ化ケーラーHの密度
の比が約2/3であることを説明している。
と見えた。

0°の場合の感度を二通りに示すが2:13
感度と比較すると、Am-Be84%ηより放出エネルギー
エネルギーを約3.5MeVと仮定12. CR-39の場合
FC10X2117 2.58/2.68 = 2 FC-10
12.113±5%25%11. TS-16の場合12.
測定値/今回 = 2.8/6.13と少し差がある。

14 MeV 中性子に対する崩壊方向偏角を
7"ラジット標準コロフト加速器で用ひて求めた。
測定装置を 図2.2 に示す。発生中子数を
モード - モード Th-232 fission chamber で
測定する。

CR-39 検出器に対する測定結果を 表2.3 に示す。
測定の統計精度は 1周(21度)、113.24-2 で 45°
112.84-2 で 90° で 5% を 越えて 113.24-2 で 2.
ニ山の誤差と 113.24-2 で 100% ~ 200% で 統計的
(電子束束面積 0.228 cm²)。統計精度が上昇
する傾向を示す。中性子崩壊率は
 10^7 n/cm² 以上で 四半球を 二分する程度である。

14 MeV 中性子による場合 は γ -2 の 結果と
反電子陽子エネルギーと γ の CR-39 に対する
相対能率をあらわすか。 113.24-2 による結果
を比較すると若干 γ -2 の場合の方が大きさ。
その 2.3 と 113.24-2 とを比較する。又 5% 113.24-2 に対する
の条件で求めた 14 MeV 中性子に対する成度
(図2.4) と比較して $\frac{\text{成度}}{\text{成度}} / \text{今日} = 1.3 / 1.63$ で
やや大きい。 γ -2 の場合の成度は 1.45×10^{-4} tracks/cm²n⁻¹
で $K=0.2$ である中性子を しまう。

角度 12.23 成度の変化は A_n -Be 線の成度合と
一致し、輸送方向垂直な單位面積あたり 1.3 と
1.2 で $K=0.2$ となる。

TS-16 検出器に対する測定結果を 表2.4 に
示す。二つの場合は誤差範囲で 100% 以下
である。統計精度は悪く $\pm 2, \pm 1.3, \pm 0.8$ 。
45° 場合の成度 $cos\theta$ と 113.24-2 検出器と CR-39 と 同じ値である。

以上より CR-39, TS-16 検出器の感度
と方向依存性は 2112 次のようまとめてある。

1. CR-39 検出器, TS-16 検出器とも 空気を数の
トラップで出来た照射源とし、3回の平均で 反応率を
求めた 結果を 装置の感度(%)を表す。
特に CR-39 検出器は、読み取り面積が
広く有利である。
2. CR-39 検出器の 11.5keV, 感度に対する影響は、
14.1keV の場合は 約 10% あるが、既に
15.2keV 付近測定の中では 感度は殆ど否定する
ほど大きな変化がない。
- Am-Bc 線源の場合は 約 15% の差がある。TS-16
は 2112 は 今後 再実験が必要である。
3. 方向依存性は 2112 は、エネルギーによらず一定である。
即ち Am-Bc 17 中性子ビームは 重直な 単位面積当り、
感度は 0° の場合より 90° の場合より 11.2%, 14.1keV
より 0° の場合より大きくなる。
TS-16, CR-39 検出器とも 90° に垂直な照射条件
条件下 近似照射を利用して利用する能力を有する。中性子束
分布分布の 方向依存性は 体内 2-10 keV では 微小である。
方向依存性を 図 1 にまとめると 1. CR-39 が 図 2.7 A.
TS-16 が 図 2.7 B である。

2.3. 高エネルギー反跳陽子に対する CR-39 検出器の感度

14 MeV 中性子反跳陽子に対する CR-39 検出器の感度
遮蔽体中の反応率を CR-39 検出器で測定
する。 14 MeV 中性子反跳陽子に対する感度は
高エネルギー陽子が 1 mm の木エチレンで減衰し
CR-39 表面にトラップを作ること能性がある。

proton の各種物質中の減衰を 図 2.5
示す。 12 MeV proton の木エチレン中の減衰
2.75 mm⁻². 1 mm あたり大ささ。

検出器を 鉛板 又は 鉛板と遮蔽体
の中間防ぐシングルスリットとした。

10 ラフィン フロックを用いて 1 回屈曲した
1/4. 3/4 中に ①裸の CR-39 検出器と ②表面に
2 mm 厚の鉛板で覆った LT₂。
裏側(鉛側)を 2 mm の鉛で
各々 3 回ずつ、上記以外の第 1 脚と第 2 脚
における照射をした。 結果を 図 2.6 に示す。
体系の概略図を 図 2.8 に示す

第一脚； 第二脚とも 各カバ-1に元して有効率
差がある。 両面を鉛でカバーした場合より
裏面を鉛にした場合よりも 測定区の大きさ
 $Pb(n,2n)$ 反応の寄与が 1/4 から 1/5 となる。
今回使用した $2 \text{ mm}^2 \times 1 \text{ cm} \times 6 \text{ cm} \times 2$ の
カバ-1 は 15% 程度中性子の減衰を 3% に
する。 裏面を鉛とした場合は この効果は半減
すると思われる。

一方銀板を使用した場合でも $\bar{p}(\bar{n}, p)$ 反応により
陽子が生成し、34ルカトラップを作ること可能である。
しかし、この陽子のエネルギーは一
般に MeV 以下で成分が多く、鉄板自身は 1 mm
木口エチレンランプにて阻止されると 1/2 となる。
(図 2.9 は Ni-60 より放出される陽子のエネルギー分布を示す。Fe たり放出 242)
ニホウヒニヨリ、14 MeV 中性子を経て 1/2。
水素を含有する物質中で使用する場合は
0.5 mm 程度、鉄板で検出器を密蔽する必要
があると結論づけられる。なお、核分裂線源
の場合、発生する中性子の飛程が短く、
木口エチレンランプにて阻止されると 1/2 の
必要はない。

なお、14 MeV 中性子を経てとした場合は、炭素の
反跳電子と、重水素の反跳電子と観測される事である。
これは木口エチレンランプにて炭素
に起因する事か? 成分の校正の際に
この飛程も計算せらるる場合は、通常の測定
の結果もこれを含めて計算する必要がある。
(通常 = 1/2)。

3. PBR燃料集合体下部遮蔽アラクスズ用-3-実験

3.1 結構

実験は予生、B運転位置。7-ストップ4で行った。設備の中には 36cm 厚の重コンクリート板。外側には (213-同じ) 厚さの普通コンクリートと鉄。種厚板(普通コンクリート 29.5cm/厚、鉄板の厚さ 6cm) を設置し、39cm の 20.5cm 中の子より漏洩する高速中性子を絶縁して利用した。高速中性子は、予生火炉の冷却管の漏洩面より漏洩する。二体を 図 3.1-1 が示す。

二体の漏洩特性は、実験により詳しく述べられ、Appendix A に表される。高速中性子は 2枚の J-71-1 板、27 分 C-11X-1 で 20.5cm⁹ の孔を有する。漏洩率は 21% と計算される。

3.2. ストライミング実験体系

実験用の供試体は遮蔽フランクの流路を模擬したフランクと注入口(下)と非均質体系PLRミニ板と銅板と組み合せた下の均質体系に分けられる。

非均質体系に用い遮蔽フランクと之中を注入する金鉄遮蔽フランクと 図3.2-1 が示す。

均質体系に用い PLRミニ板と銅板との層状構造を 図3.3 が示す。

非均質体系をセットした体制図を 図3.4 が示す。遮蔽フランクを3つした金鉄遮蔽フランクの厚さは1.0cmである。PLRミニ板を置いた。敵密121FBR遮蔽フランク入射面のスペクトルを模擬するようスペクトルモディファイアを作製して設置すればある。但し、陽子反跳飛跡検出器では約100 keV以上を測定するので、スペクトルの形には何の変化も生じてないことはない。しかし、敵密121は現在今頃も一致で正確である。

金鉄遮蔽フランク121は図3.2-1と图3-3は中心部160mmとまわり6個、合計710mmの遮蔽フランクを注入する方がある。今日は3つ30mm中心の110mmと9個の遮蔽フランクを互に注入し、まわりの6個は160mmのまわり金鉄フランクを注入した。その理由はまわりの6個含めると直径32cmの球面ピッカムが必要となるから。
3つ30mmの直径110mmの球面ピッカムは直径20.5cmであるためである。

中央の穴に3つ入る遮蔽フランジの寸法
図3.2に示すように外径φ9cmであり。
内径はφ6.5cmより少しある。

遮蔽フランジは図3.2に示すように
次の4種類がある。2つずつ各部品と組合せ
1. 直管6径穴

直径23.2mm、穴が6径ずつある
量通じい式。穴の周囲は金具(以下同じ)。

2. 曲管6径穴

直径23.2mm、穴が量通じい式。
3本が中央で折れ曲がる式。

3. 同心四穴

直径70mmまで17金具で26個の外縫
90mmと91mmは穴がある。

4. 中間大穴

中央部は57mmφの穴がある。

二種の穴の中では、アルミニウム粒を除くと、平均
密度は、アルミニウムは約1.8/cm³と、チタン等の
物質は、各フランジは穴21個で
アルミニウム粒の重量を表す3.1に示す。

なお、遮蔽フランジのホット部(アルミニウム粒を除く)
部と、金具部の体積比は、いずれも
フランジの場合、約0.4;0.6となる。

二種のフランジは、11個ずつ、約10年間は3%まで
遮蔽実験は使用UTでしてある。(UTNL-R-0125
レポート参照)。金具の遮蔽フランジの
まわりは、アルミニウムカバーを差して遮蔽
フランジの周りを3mm以上の隙間で、中間部

一致すよ^リ31=レ2113.(図3.4参考) = ピル
ニシカウト 当時^{アリ} てお^リ。 リテイ=クレ-
24^リ31= ピルレ2112113。

10年後^{アリ} 31=2113 7月。 次の2点^{アリ}
T. 全体均質体系と既存の 鋼板と ピル板の
厚体系

今回計. 鋼板 1cm² 18枚

ピル板 1cm² 9枚 8枚

ピル板 0.5cm² 9枚 1枚

↑ + 厚さの合計部^{アリ} 4.5cm

厚さ 31cm の体系を用(12113^(E) (12. 3.3参考)).

口. 7°37' 均質体系と既存 高さ 89.2mm²
(89.2mm² 12枚+90mm² 9枚=12.4mm² 1枚).

鋼板 (厚212mm a(t)) .15² 2.4mm² 1枚

2 ピル板 (厚2.3mm a(t)) 18枚

を組合せた 厚さ 7°37'(既存の部屋高さ30cm²).

前回は. 国3.5 1=示すよ^リ31=セントル
測定は12115年.

継続 12115年 体系と 高さ 9.90mm²
遮蔽 7°37' が12112年入る 12115年.

117.4も 遮蔽 7°37' のある場合と比較する
ための測定を行つてお^リとみ、 = 415
測定の実地に比較 015² ストリーング係数を
あわせ 015 次の式で 理由で国策を
ある。

(2) 全体均質体系の 厚さ 31cm > 7°37' 厚さ 30cm より 1cm² 10枚
アラウド^{アリ} 1cm² 1cm² ピル板 が12113年^{アリ} 2枚.
スモールモディファイドの厚さ 11cm² 1枚. 全体均質体系の 1cm² ピル板より厚い.

RPS. 3年生計漏洩する ピ-4の経は 20.5cm^{ϕ}
 2. 例1. 遠敵 $70\text{ラグ}^{\prime \prime}$ 経は 9cm^{ϕ} である。
 3. 周囲は鉄である。 \rightarrow 管体を鉄と
 プリ、ホイールの体積比を決める際には。
 2. 同様の鉄の部分を $\pi r^2 h$ とすれば
 体積比 \rightarrow 等しい。正確に決める方法は
 ない。例では ピ-4の経が 20.5cm^{ϕ}
 なので、 20.5cm^{ϕ} の内側にある 鉄と
 プリの体積で 純管体を定めます。
 実際は 20.5cm^{ϕ} の外側に 高速中性子は
 伸び出しますので 正確ではありません。一方
 9cm^{ϕ} の $70\text{ラグ}^{\prime \prime}$ の部分 $\pi r^2 h$ の体積化で
 純管体を定めると これも無理か
 ある。(鉄 $\rho = 7.8$ 中心 $70\text{ラグ}^{\prime \prime}$ の全領域を
 1.0とみて 斜面で 斜面ミンクを生じさせます。)

したがって上記の1. 2の「供試体の体積比は
 $\sqrt{R^2 - 9^2}$ である」とある。

1. 全体純管体系

$$\text{鉄 : プリ : ホイール} = 0.58 : 0.27 : 0.75$$

2. $70\text{ラグ}^{\prime \prime}$ 純管体系

$$\text{鉄 : プリ : ホイール} = 0.61 : 0.18 : 0.21$$

3.3 測定結果

測定17 CR-39, TS-16 検出器と Lhがシテ
を行つた。

CR-39 検出器の寸法は $1\text{cm} \times 2\text{cm}$,
TS-16 検出器の寸法は $0.5\text{cm} \times 1\text{cm}^2$ -
あり、これらも 遮蔽プラグの取扱い
寸法より 小さい。= 中5の 検出器は。
遮蔽プラグの穴の位置(最初ストリーミング
大きいと思われる位置) = セットして。
照射をした。

CR-39 検出器の測定結果を 表3.2に
TS-16 検出器の測定結果を 表3.3に示す。

CR-39, TS-16 検出器ヒト 鉄カバーは
用ひない。

CR-39 検出器の測定誤差は 最大 ± 12
 $\pm 5.18\%$ であり。 TS-16 検出器 $\pm 13. \pm 4.98\%$
である。

実験結果は 減衰率と ストリーミング係数
として 整理してある。

減衰率とは 供試体を走行した際の 供試体
入射面.即ち PVC ラム瓶(10cm)から入射面 との
反応率を 基準として 減衰率を求めたものである。

ストリーミング係数は 全体均質体中の出口
反応率を 基準とした。比較してある。

供試体をセトした状態での発光率も $\frac{1}{2} \sim \frac{1}{5}$ %
程度である。

ストリーミング係数は当然ながら 1コ大穴が
最も大き。直管 6コ 穴が 3cm は 次に 2.113.
1コ大穴の 1.8 近い大きさのストリーミング係数は
アルミニウム 10cm の スペクトルモティファイアーで
理論的 FBR の 斜面ストリームを模擬するのに
適度ではあるといふところである。

CR-39 と TS-16 検出器で測定 UT=
減衰半周期でストリーミング係数の比較を
表3.41 に示す。

両者の検出器で 厚度のエスルホー倍率が
かたまりなどがある。両者を 厳密 に
比較するには まだ至りか
ストリーミング係数が同一化した値をとる。

TS-16 検出器の方か 減衰半周期は
2.5% 方か 測定下限か 低い左側と思われる。

レムランタ - 1 の測定結果を 表 3.5 に示す。

レムランタ - 1 は Studsvik の AD 2202 D 型、
減速材付(ホリエチレン付) 中性子線量計で、
検出器の直徑は 約 22 cm あり。TS-16 や
CR-39 検出器と比較して、遮蔽 γ 線
約 5% (9 cm^2) 上り大きい。

レムランタ - 1 は 純 T 原出式 (2 枚の
コンクリート板の外側の面) たり 60 cm
の高さで、供試体を置いて γ 線
外側の面より 約 20 cm (実測値は
 19.3 cm) の高さでセットして測定した。

カウント数 415 レム値への換算率 +
カウント率 = $3 \times 3.6 \text{ cps} \cdot \text{rem/lm}^{-2} \text{ hr}^{-1}$

測定結果を 表 3.5 に示す。減衰半期
CR-39 や TS-16 検出器より 小さい。二つ目
は G-E スペルメーク型とみて レムランタ - 1 は
計算値より大きい。又、ストリーミング
係数が 1.57 ないし 2.13 の場合がある。
レムランタ - 1 の直徑が大きいため、検出
される中性子のうち 遮蔽 γ 線を想定する
中性子 90 mm^2 のところだけでは、他の同様の
部分を通過せねばならない全体均質体を。
の場合、遮蔽 γ 線を壁面付近より 大きい
距離としやうべく、遮蔽 γ 線を使用しない
場合は、二部分は全く独立であるが
全体均質体をの場合には、銅板、Pb 板
材料の層状で $12.5, 21.3$ 。

4. 結論.

1. CR-39, TS-16 検出器はストリーミング
実験で高速中性子の反応率を測定する
のに有用であり、測定精度は相対的
約5%である。
2. 火炉下部の遮蔽フランジのストリーミング
用いて、モックアップ体を立てたときの
減衰率とストリーミング係数を測定
した。この結果は3次元コード
検証用には有用である。

表2.1 CR-39 棱出端の感度と方向依存性 ($A_m - Be$ 線源)

試験日 昭和61年5月8日～14日
フェニス $1.97 \times 10^7 \text{ n/cm}^2$

1. 11^o, 2^o-2, 無

角度	番号	入射率 tronches/cm^2	平均 ±分散 (分散%)	感度 $10^4 \text{ tronches/n}^2$ (平均)	線源感度 平均感度 (%)	DX-1 (%)
0° ($\frac{1}{2} \lambda$ 距離) (入射)	TEST 1	6138	6091	3.092	←	11.1% 15.0% 2.1%
	2	5925	± 121	(1.0)		
	3	6211	($\pm 1.99\%$)			
30°	TEST 4	4980	4856	2.465	2.846	
	5	4893	± 119	(0.797)		
	6	4696	($\pm 2.45\%$)			
45°	TEST 7	3441	3391	1.721	2.434	
	8	3182	± 154	(0.556)		
	9	3549	($\pm 4.54\%$)			
60°	TEST 10	2443	2516	1.297	2.554	
	11	2646	± 92.2	(0.413)		
	12	2459	($\pm 3.66\%$)			
90°	TEST 13	981	1059	0.5374	~	
	14	1038	± 13.3	(0.173)		
	15	1157	($\pm 6.93\%$)			
135°	TEST 16	2672	2744	1.393	2.786	
	17	2692	± 88.5	(0.450)		
	18	2869	($\pm 3.22\%$)			
180° ($\frac{1}{2} \lambda$ 距離) ($\frac{1}{2} \lambda$ 距離)	TEST 19	4116	4034	2.048	←	0°の感度 9.7% = 0.662
	20	4059	± 79.2	(0.662)		
	21	3927	($\pm 1.16\%$)			

2. 11^o, 2^o-2 (±1^o)

角度	番号	入射率 tronches/cm^2	平均 ±分散 (%)	感度 $10^4 \text{ tronches/n}^2$	感度 平均感度 (%)
0°	TEST 31	5628	5281	2.68	4.7% 9.7% = 0.866
	32	5028	± 253		
	33	5788	($\pm 4.80\%$)		

(2) 11^o, 2^o-2 4代目接着用品(+) \rightarrow $70^\circ 32.4^\circ \rightarrow$ なし

(3) 遮蔽実験用日影 (+) 第1回 11^o, 2^o-2 \rightarrow なし (2回) なし

表2.2 TS-16 検出器の感度と方向依存性.(A_m-Be 箔)^{1/2}.

測定日 1961年5月9日～14日

71ルンス $1.72 \times 10^7 \text{ n/cm}^2$

(1) TS-16 検出器 13番 12-2 番 21-2

角度	電子番号	試験距離 truly 3,363mm	I, 45° 感度 true Gm	平均	感度 $10^4 \cdot \text{true} \text{ Gm}^{-1}$	絶対感度 EXP
0°	T-10 -11	350 359	10407 10675	10541 ± 134 ($\pm 1.27\%$)	6.13 (± 3.3) (1.0)	←
30°	T-12	276	8207	←	4.77 (0.77%)	5.5
45°	T-13	205	6096	←	3.56 (0.57%)	5.0
90°	T-14	110	3271	←	1.90 (0.310)	—
180°	T-15	221	6572	←	3.82 (0.62)	(5.2)

$$(1) \text{ 感度} \times \frac{1}{\cos \theta}$$

$$(2) 0^\circ \text{ 感度} \times \frac{1}{\cos 0^\circ} = 0.623$$

$$(3) x - b - a \text{ 修正係数 } \approx 20 \text{ \% } 19.1$$

図2.3 CR-39 検出器の感度と方向 係数計測 (14 MeV 中性子束)

測定日 1981年5月9日

1. 11", N-4-2 1/2

角度	番号	$I_{\text{track}} / \text{track/cm}^2$	平均 $\pm \text{偏差}$ (%)	感度 track/cm^2	$F_{\text{dir}} / \text{s}$ $10^{-3} \text{track}/\text{s}^{-1}$	感度 成分数
0° (14.8MeV)	TEST 22	3603	3498 ± 8.1	2.41 ± 0.02	1.45 ± 0.01 (0.97)	
	23	3385				
	24	3505	($\pm 2.55\%$)			
0° (14.8MeV)	TEST 25	774	775	0.5	1.55 ± 0.02 (1.03)	
	26	791	± 13.1			
	27	759	($\pm 1.69\%$)			
45° (14.6MeV)	TEST 28	769	699	0.496	1.41 ± 0.01 (0.94)	1.99
	29	638	± 53.9			
	30	689	($\pm 7.71\%$)			

2 11", N-4-2 1/2

0° (14.8MeV)	TEST-34	4111	4009	2.46	1.63 ± 0.03 (1.02)	
	35	4129	± 156			
	36	3789	($\pm 3.90\%$)			
0° (14.8MeV)	TEST-37	717	770	0.486	1.58 ± 0.02 (0.98)	
	38	854	± 60.1			
	39	739	($\pm 7.80\%$)			
45° (14.6MeV)	TEST-40	2928	3009	2.42	1.24 ± 0.02 (0.992)	1.75
	41	3158	± 105			
	42	2942	($\pm 3.50\%$)			

(1) X-6 極性: ESR 12% 高

(2) " 20% 高

(3) " 26% 高

(4) " 22% 高

表24 TS-16 検出器の感度と方向依存性(14MeV μ 粒子)

記録日 1966年5月9日

角度 (14.8° を基準)	素子番号	計測セル数 tracks/ 5.16cm^2	平均活性率 tracks/ cm^2	中性子率 $10^3 \cdot \text{n cm}^{-2}$	感度 $10^{-3} \text{ tracks}^{-1}$	絶対感度 射上面積当り 感度
0° (14.8MeV)	T-1	284	7980	2.41	3.26 (0.97)	←
	2	236	± 619			
	3	275	($\pm 7.75\%$)			
0° (14.8MeV)	T-4	56	1725	0.500	3.45	←
	5	62	± 84.1		(1.03)	
	6	56	($\pm 4.88\%$)			
45° (14.6MeV)	T-7	41	1388	0.496	2.80	3.96
	8	55	± 178	-	(0.834)	
	9	44	($\pm 12.8\%$)			

素25陽子の各種物質中の飛程

物質	陽子エネルギー MeV	飛程 nm
不純物	12	2.75
	5	0.58
	1	0.0285
Pb	15	0.53
	1	0.00832
Cd	15	0.58
	1	0.00812
Fe	15	0.508
	1	0.00635
Al	15	1.1
	1	0.014
空気	15	250×10^3

表2.6 CR-39 検出器測定結果(高エネルギー反応堆積の結果)。
 検出器は γ の影響。

照射場所	ガラス種類	検出器No.	計数値 tracks	平均 (\pm 分散%)	比
第一脚 (DT線源) (正面)	裸	T1 -13	14002	14381	1.0
		-14	14566	($\pm 1.86\%$)	
		-15	14577		
	両面鉛	T1 -16	13959	13985	0.972
		-17	13922	($\pm 0.46\%$)	
		-18	14075		
第二脚 (DT線源) (背面)	裸	T1 -19	13466	13311	0.926
		-20	13065	($\pm 1.32\%$)	
		-21	13403		
	両面鉛	T1 -22	8589	8129	1.0
		-23	7826	($\pm 4.07\%$)	
		-24	7993		
第三脚 (DT線源) (裏面)	両面鉛	T1 -25	7700	7585	0.933
		-26	7445	($\pm 1.39\%$)	
		-27	7611		
	両面鉛, 基鉄	T1 -28	7274	7159	0.881
		-29	7191	($\pm 1.52\%$)	
		-30	7013		

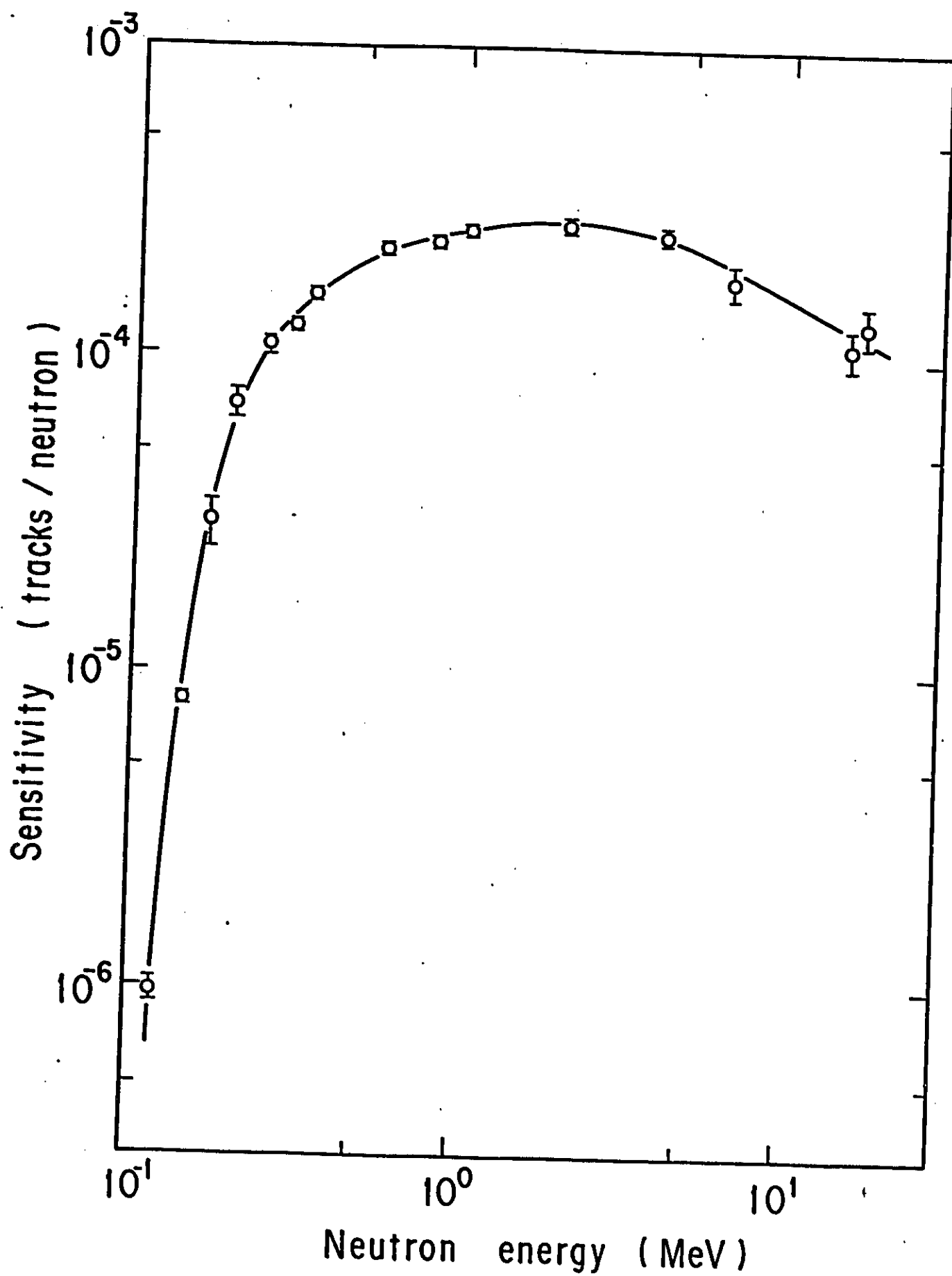


図2.1 CR-39(4101保安装置)の感度エネルギー特性

Fig. 2

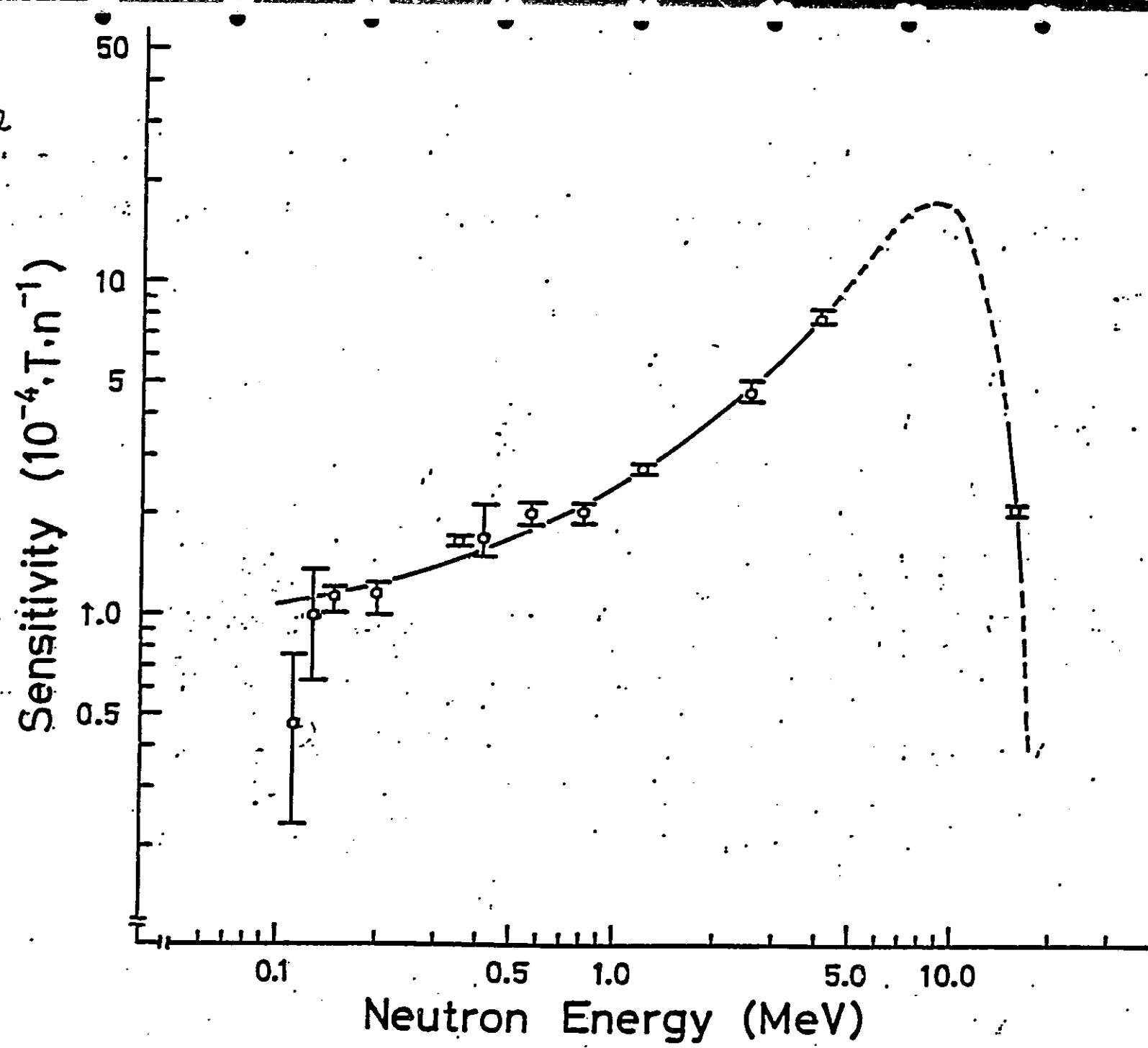


図 2.2 フィルターレット 1 旧素子の感度のエネルギー依存性

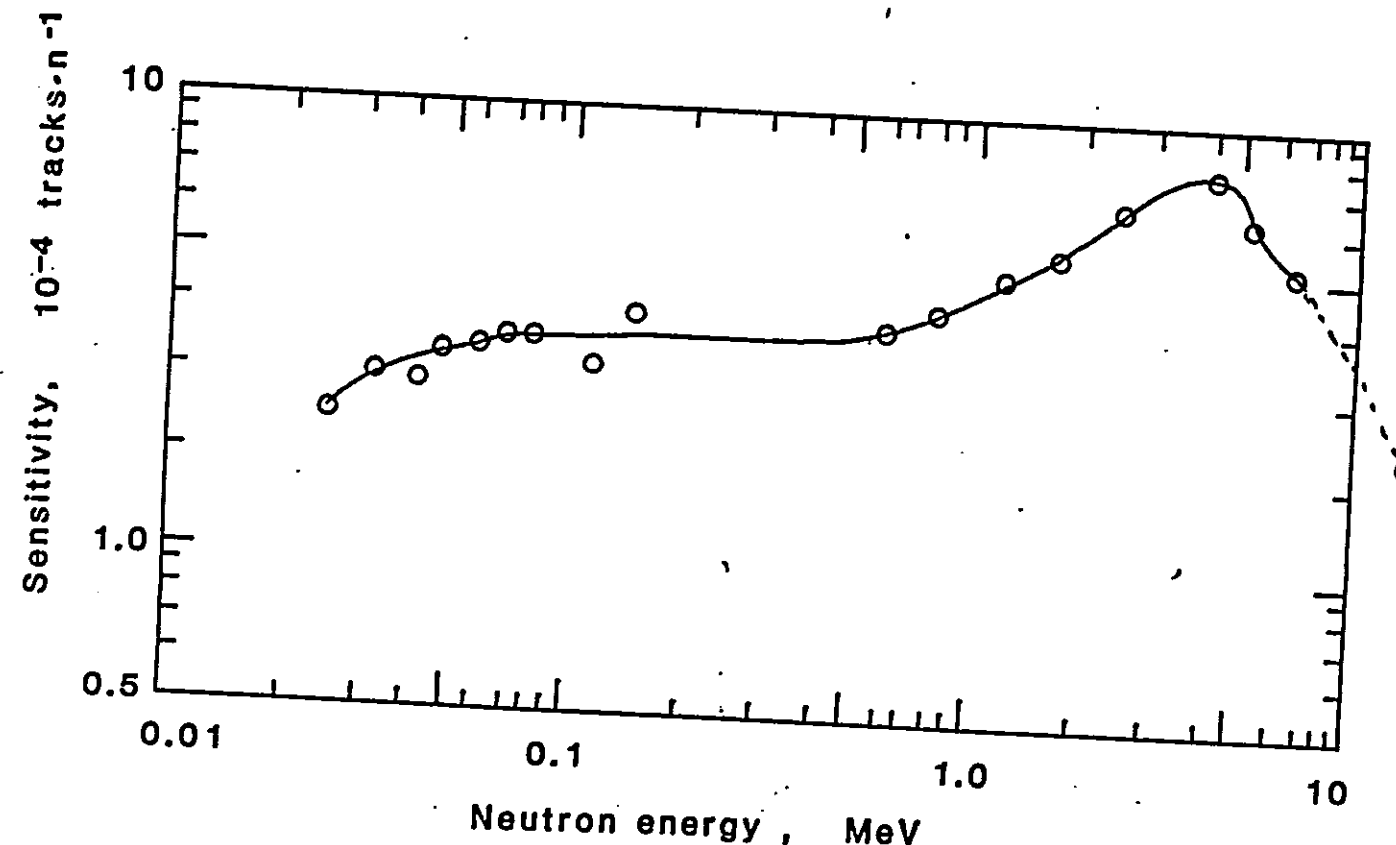


図 2.3 長距離ランゲラック計数子(TS-1b)の感度のエネルギー依存性

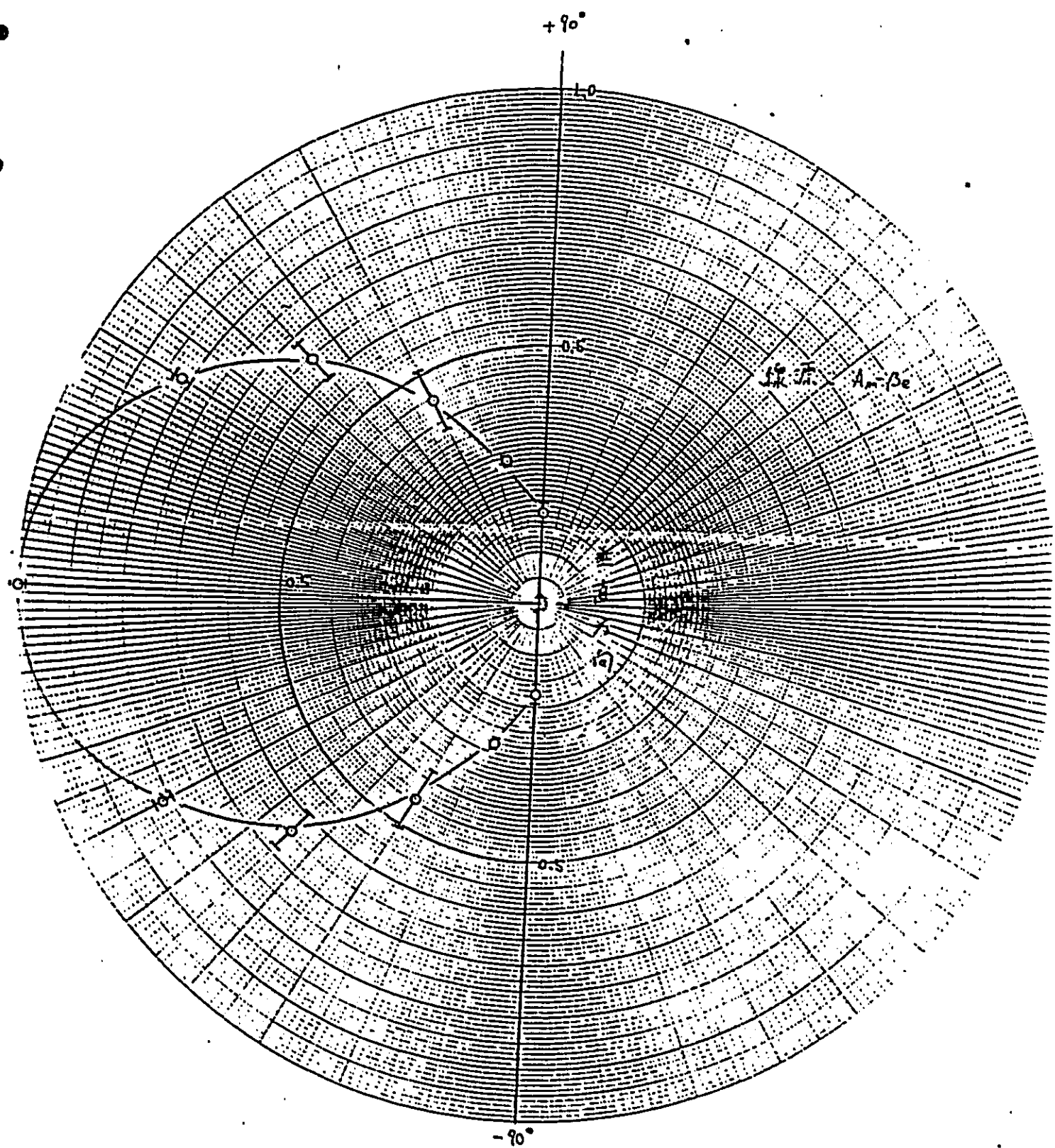


图 2.4 NPB 方向特性 (垂直方向)

Technican

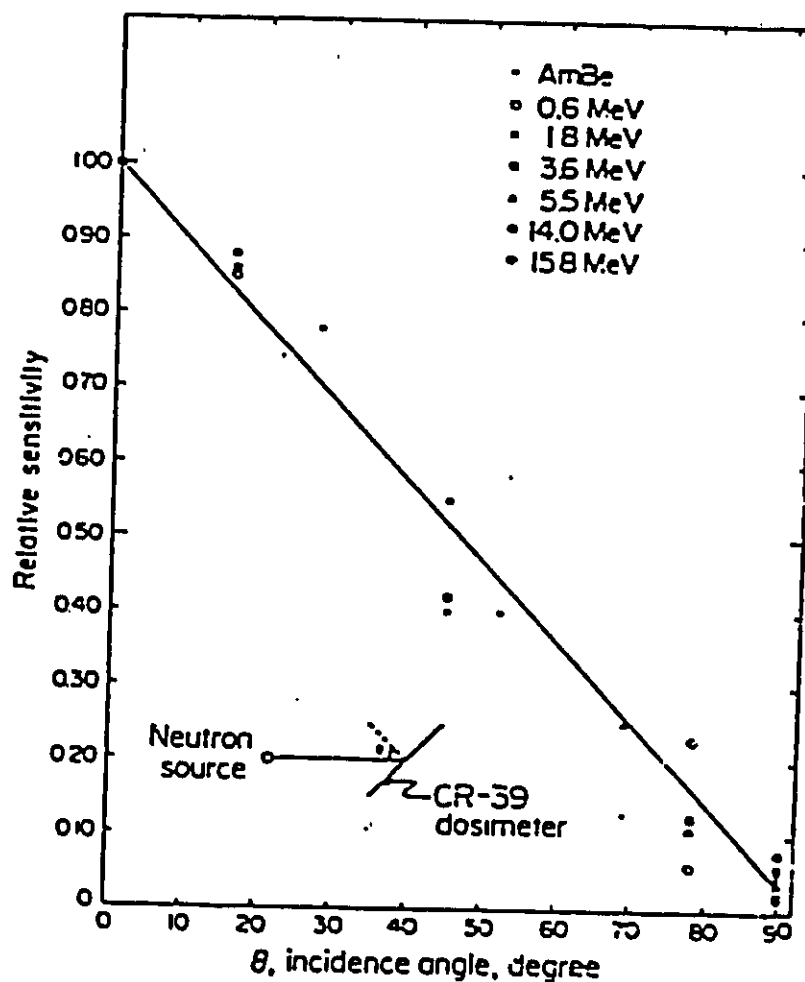


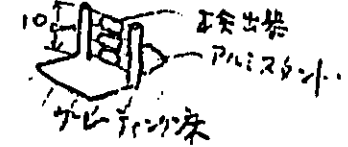
FIG. 2.5 Directional dependence of CR-39 neutron dosimeter. Although the theoretical directional dependence is not quite a straight line, the data can be adequately represented by a linear fall off. The data shows that the directional dependence is independent of neutron energy.

図2.6 CR-39 検出器 TS-16 検出器 照射体系図 (Am-Be線源)

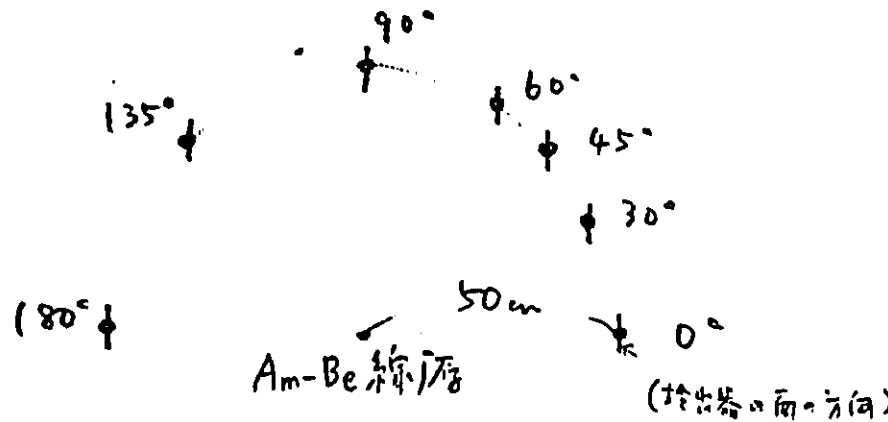
場所 「学生」実験準備室 ケレ-テニヤー上

検出器の支持.

2mm厚のPVC板で加工 L2.25cm
W1.34cm 検出器を床に垂直に
立てる。 $t_1 = t_2$



統計学的距離 50cm (下図参照)



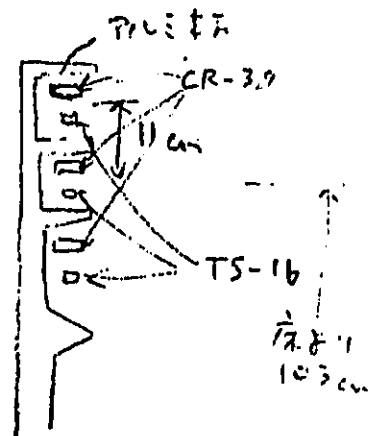
照射日 93年6月5日 8日 ~ 14日 (CR-39),
5月9日 ~ 14日 (TS-11).

CR-39 検出器
図2.7 TS-16 検出器 距離体系図 (14 MeV 中性子 \bar{F}_π)

場所 東大・工学部原子炉工学研究施設
アーチカルト 條 中性子実験室。

検出器の支持 2 mm \bar{F}_π の PVC 板！

距離を20 距離。 $0^\circ \bar{F}_\pi$... 61.8 cm
 $45^\circ \bar{F}_\pi$... 89.5 cm



統一化する -

$\text{Th}-232$ μ fission chamber.
(感度 1.166×10^8 $n/\text{Th-232}/\text{s}$)

照射日 1961年5月9日

中性子エネルギー

$0^\circ \bar{F}_\pi$ 14.8 MeV

$45^\circ \bar{F}_\pi$ 14.6 MeV

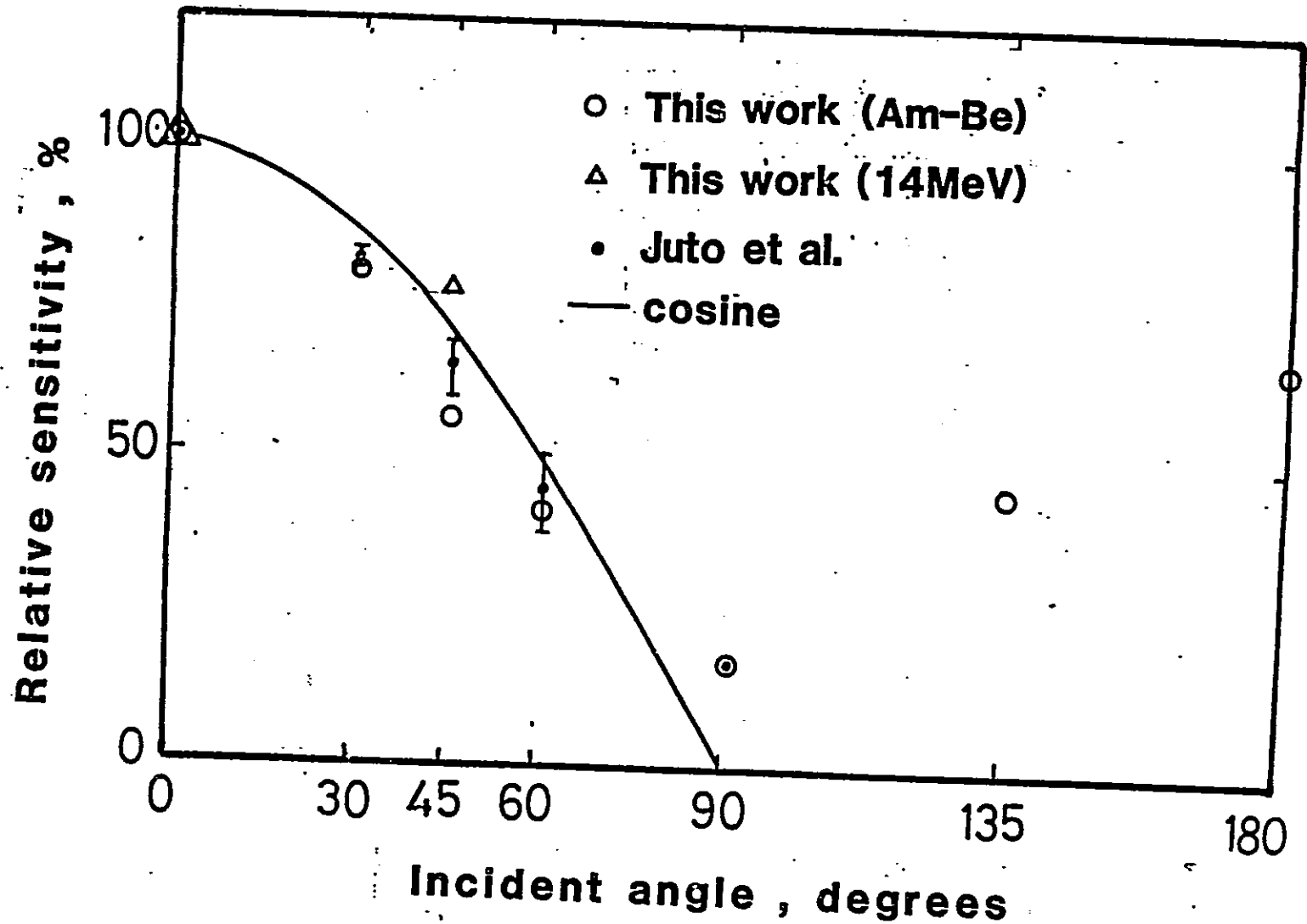
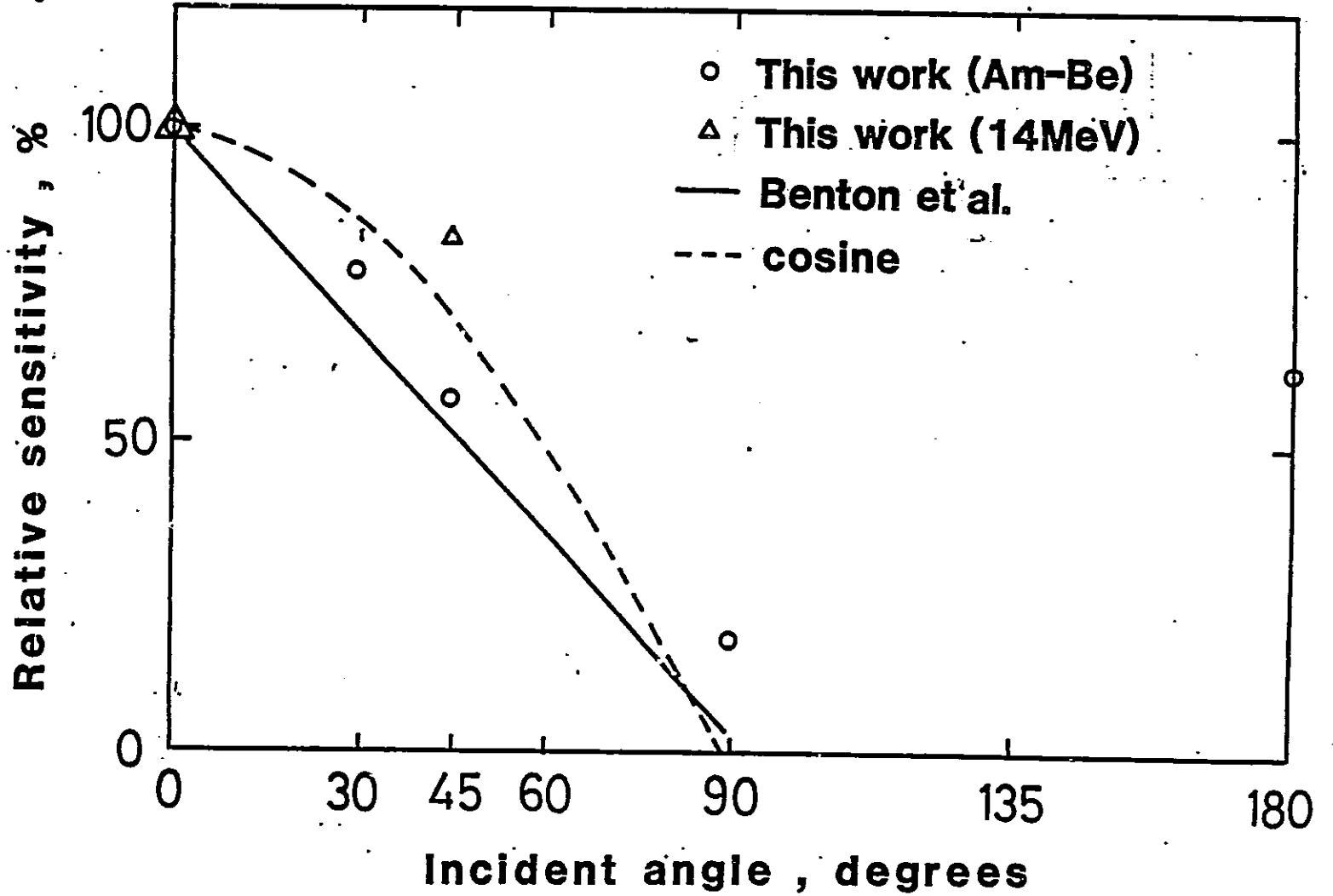


図 2.7A. 415回保有の素子(CR-39)の方向依存性



141 2.78
ESTIMATED (TS-110) α SPECTRUM

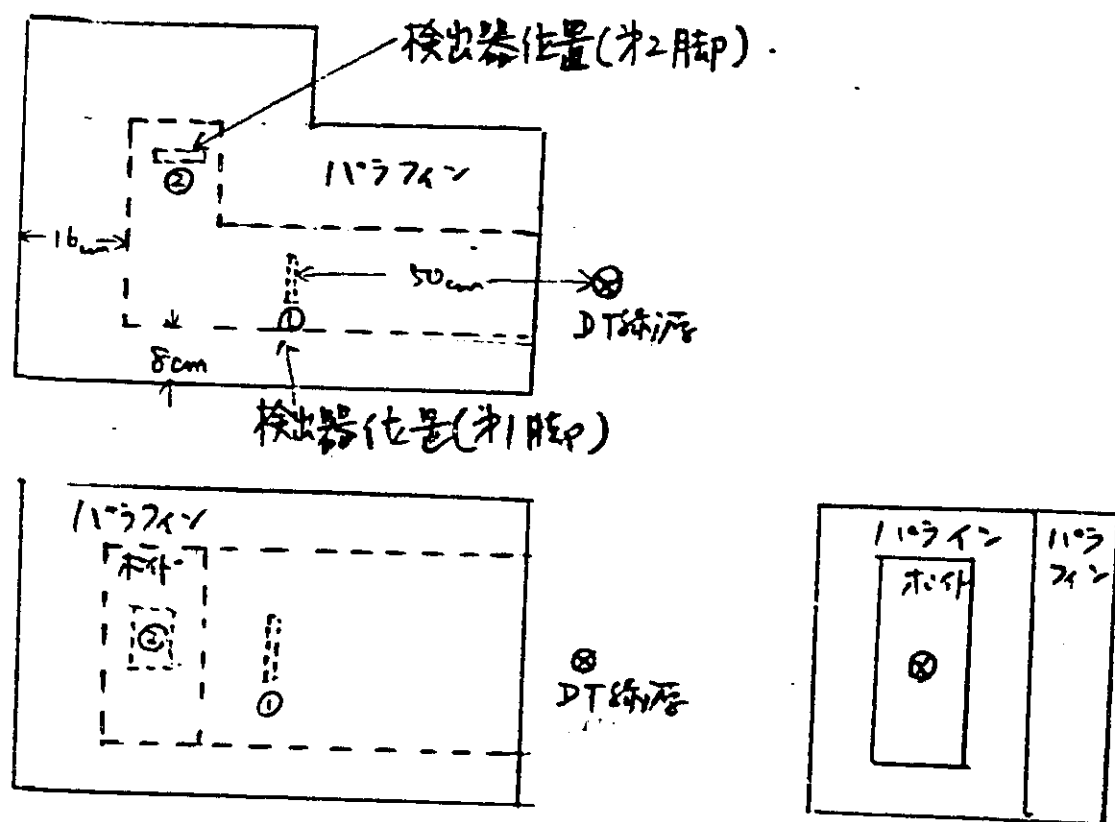


図2.8 検出器 カバーの効果の測定、ための
照射する体を

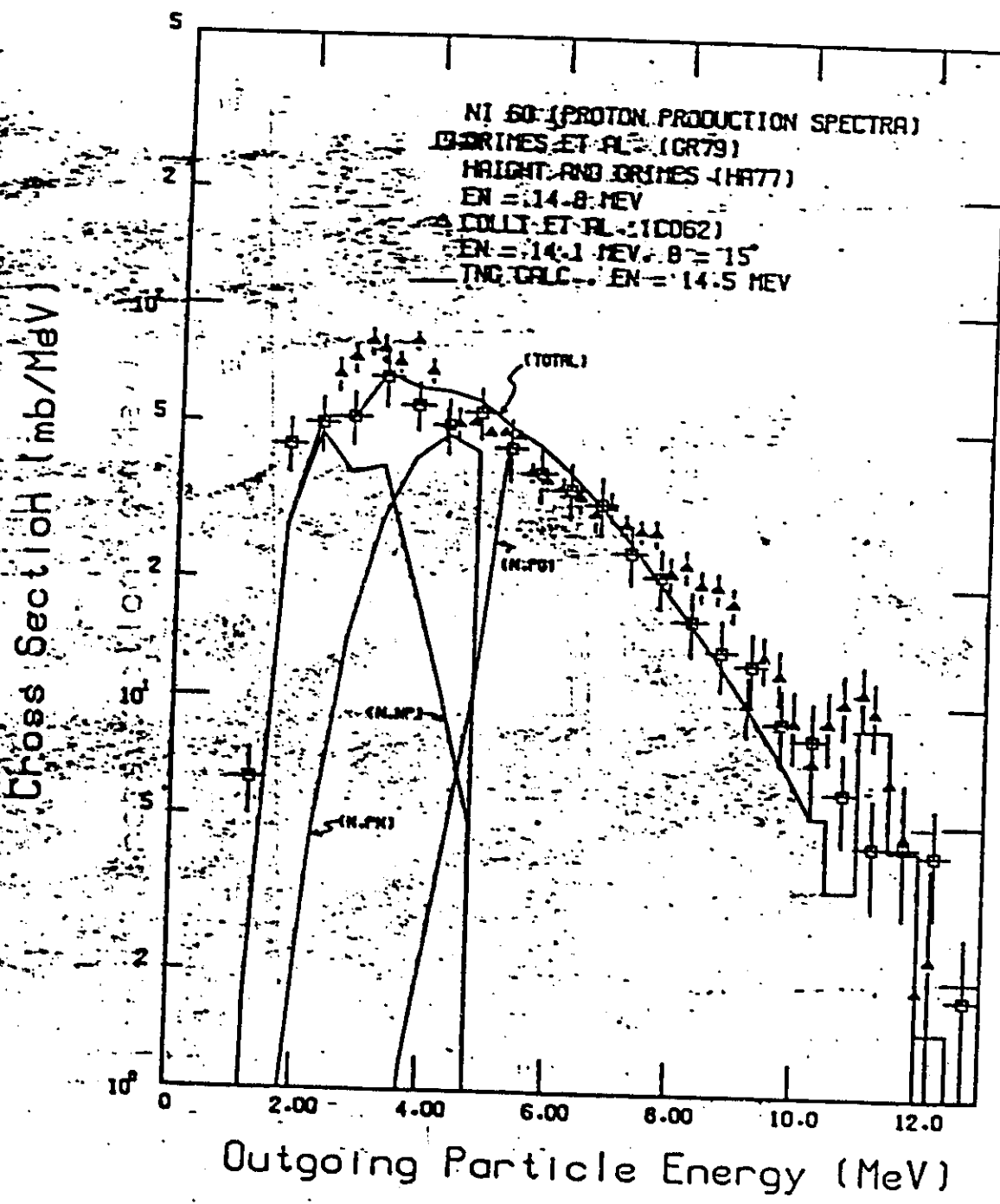


图2.9 $Ni-60(\gamma, p)$ 反应的总截面和弹性散射
from D. M. Hartwick et al. (ORNL) 在 Santa Fe 会议
1985年5月

春3.1 遠散フラフリ=先2人用
アルミニウム管の重量。

物語り	重量
1コ大元	880
直管6コ元	910
曲管6コ元	915
同1019元	885 (4月実885)
同1019元	860 (5月実860)

表3.2 CR-39 探出器測定結果 (遮蔽70%ストリーミング実験)

71L2=74.10 cm² & 2.993 / -1V 玄瓦
7994-1用.

1. 昭和61年4月24日-25日 実験

体系	検出器N	活性化時間 t _{radio} 0.3762	平均活性 t _{radio} /cm ²	距離 W.F.	1W. 分散 エアロゾル 密度	減衰率	ストリーミング 倍数	
Y-2 (試験体)	TEST-1	3731	11668	5	2334			
Y-2 (試験体)	-2	4189	13151	5	2630	1.0		
Y-2 (試験体)	-3	6075	19951	500	39.90	0.0149	1.80	
Y-2 (試験体)	-4	4843	15431	500	30.86	0.0117	1.39	
Y-2 (試験体)	-5	3585	11089	500	22.18	0.00843	1.0 (base)	
Y-2 (試験体)	-6	4448	14050	500	28.10	0.0107	1.27	
Y-2 (試験体)	BG-1	3952	12365	500	24.73	0.00940	1.11	

2. 昭和61年5月23, 24日 実験

Y-2 (試験体)	T1-1	2642	11736	500	23.5	0.00975	1.15	
Y-2 (試験体)	2	2807	± 403					
Y-2 (試験体)	3	2826	($\pm 3.13\%$)					
Y-2 (試験体)	T1-4	538	2026	100	20.3	0.00816	1.0 (base)	
Y-2 (試験体)	5	484	± 105					
Y-2 (試験体)	6	485	($\pm 1.17\%$)					
Y-2 (試験体)	T1-7	2666	11591	4.66	2489.3	1.0 (base)		
Y-2 (試験体)	8	2874	± 501					
Y-2 (試験体)	9	2641	($\pm 4.32\%$)					
同心円	T1-10	612	2424.7	100	24.2	0.00973	1.19	
同心円	11	588	± 38.8					
同心円	12	603	($\pm 1.58\%$)					

表3.3 TS-16検出器測定結果(遮蔽70%ストリーミング実験)

1. 実験日 1961年4月24日, 25日

体積	検出器 tracker mm.	距離 mm.	距離 mm.	W. 分	W. 分 工事率	減衰率	ストリーミング 倍数	
1-2 供試体 TDL	1 2 3	937 1037 1017	29666 ± 1294 ($\pm 4.36\%$)	5	5933			
10上 3500 742	4 5	929 904	27252 ± 391 ($\pm 1.36\%$)	5	5450			
ART 70% 20% 30% 40%	6 7	2159 2186	64600 ± 403 ($\pm 0.61\%$)	20	3230			
供試体 V-2	8 9 10	1449 1438 1487	43354 ± 624 ($\pm 1.44\%$)	5	8672	1.0 (base)		
12大元 70% 40%	11 12	3102 3046	91406 ± 833 ($\pm 0.91\%$)	500	182.8	0.0211	1.75	1.39
直角60度 70% 40%	13 14 15	2265 2215 2248	66686 ± 617 ($\pm 0.92\%$)	500	133.4	0.0154	1.28	
直角60度 70% 40%	16 17 18	2192 2224 2183	65408 ± 523 ($\pm 0.84\%$)	500	130.8	0.0151	1.26	1.0
直角60度 70% 40% (回転60度)	19 20	2146 2321	67157 ± 3345 ($\pm 4.98\%$)	506	132.7	0.0153	1.29	
直角60度 70% 40%	21 22	2206 2366	67995 ± 2379 ($\pm 3.52\%$)	500	135.9	0.0157	1.30	
直角90度 70% 40%	23 24	2055 2139	62355 ± 1243 ($\pm 2.00\%$)	500	124.7	0.0144	1.20	
全体被覆 体外出口	25 26	1732 1771	52681 ± 580 ($\pm 1.11\%$)	500	104.2	0.0120	1.00 (base)	
2. 実験日 1961年5月22, 23日	27 28 29			500				

表3.4 CR-39検出器と TS-16 検出器による測定結果
減衰率と 2H-2の係数 (streaming factor) の比較

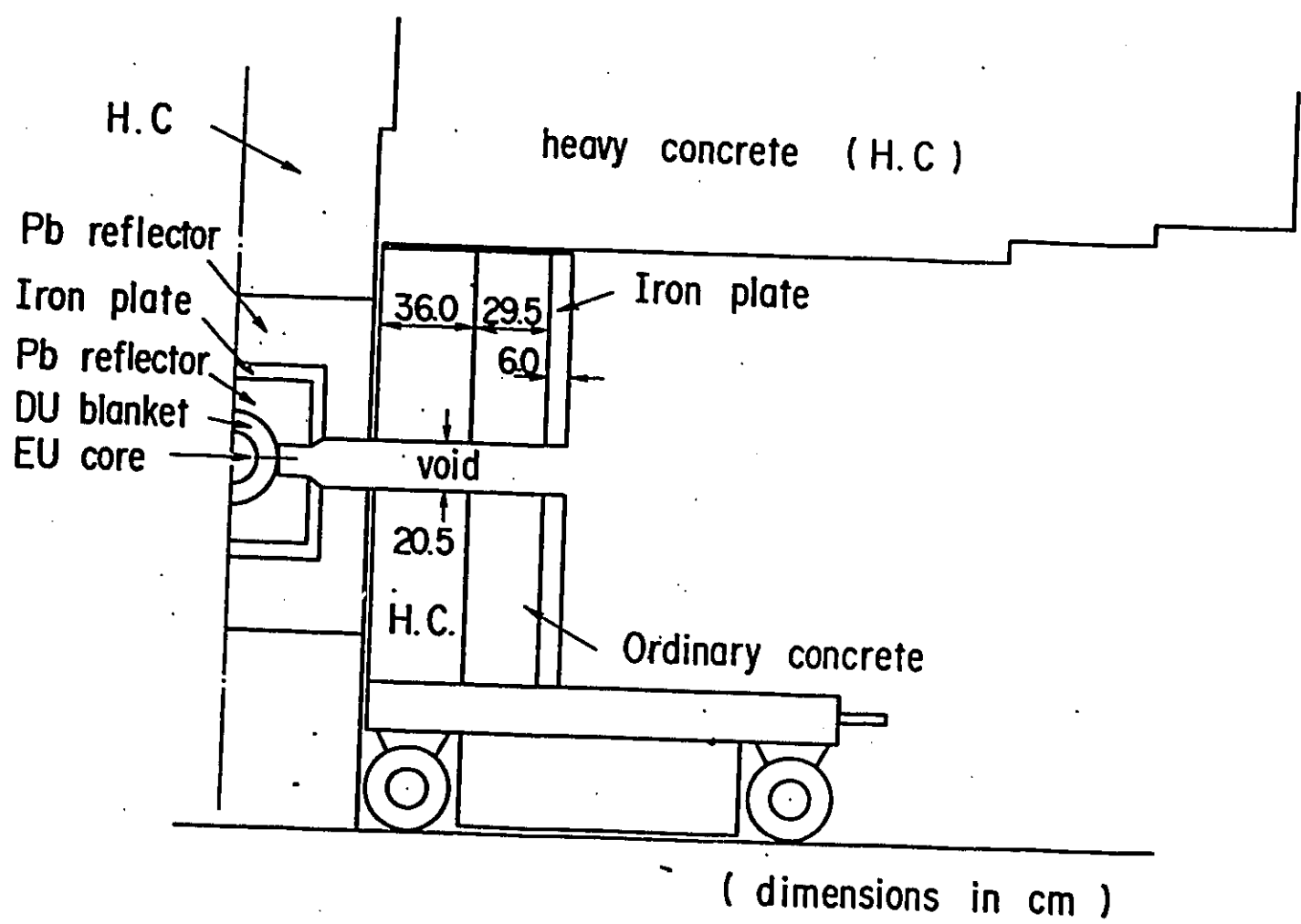
体系 (Source)	減衰率 (attenuation factor)		2H-2の係数 (streaming factor)	
	CR-39	TS-16	CR-39	TS-16
1コ大穴 (one large hole)	1.0	1.0	—	—
直管6孔 (six straight holes)	0.0149	0.0211	1.80	1.75
曲管6孔 (six bent holes)	0.0117	0.0154 0.0157	1.39	1.28 1.30
同上14孔 (cylindrical hole)	0.00940	0.0144	1.11	1.20
全体均質 (homogeneous)	0.00843	0.0120	1.0	1.0
均質栓 (homogeneous plug)	0.00945		1.15	

表3. レンカウント-測定結果(遮蔽7037.214-517実験).
実験日. 1961年5月22, 23日

Run No.	体系(回路番号)	出力W	出力 CPS	出力 _{試験} CPS	i減衰率	試験- _{標準} 比	
1	供試体なしY-ス	0.103	1224	11883	1.0 (=1)	1.0	
2	中心大穴 7037-出口	1	429.8	429.8	0.0361	1.061	
3	直管60cm 7037-出口	1	421.7	421.7	0.0355	1.041	
4	曲管60cm 7037-出口	1	400.5	400.5	0.0337	0.989 (=0.92)	
5	7037-45度弯管 出口	1	386.2	386.2	0.0325	0.954	
7	全体均等 出口	1	404.9	404.9	0.0341	1.0	
9	同心円筒7037 出口	1	401.0	401.0	0.0337	0.990	

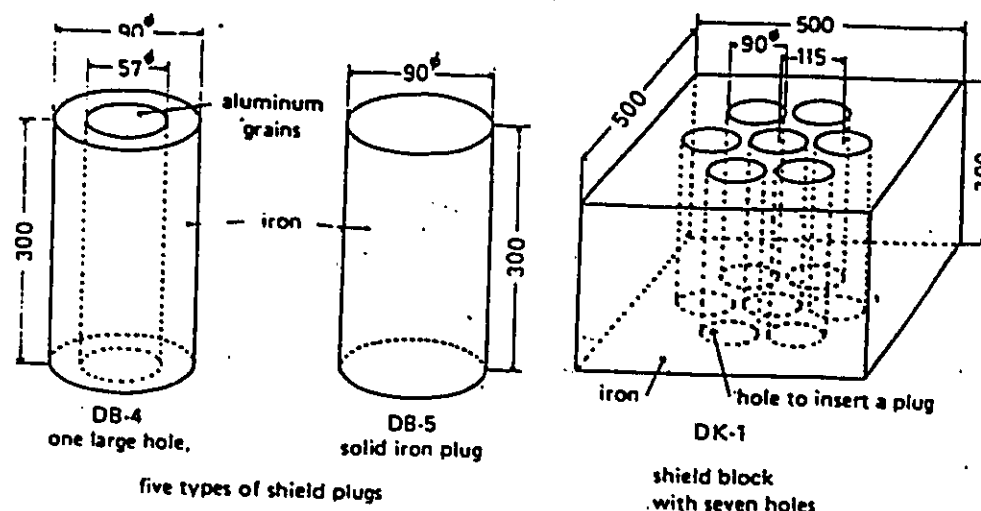
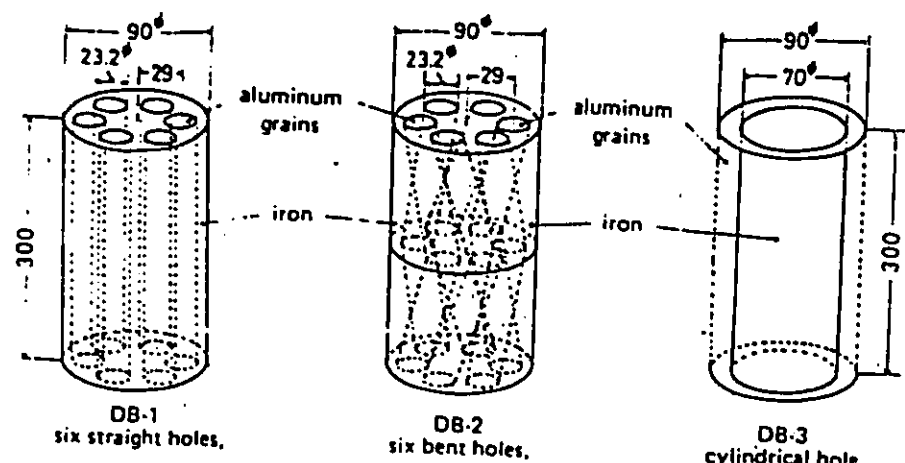
(注) CR-39, TS-16 試験器の時、減衰率は供試体をついた状態で、Y-ス波数の測定値を1.0とし、各(2113)のレンカウント-率は、供試体付けてY-ス正測定値を1.0とし、供試体付て Y-スの3倍度をもとに減衰率を計算した。

(注) Run No. 4, 5, 9, 7と9の体系で、ST-1-: 77(平均値) 1.0±0.11
1.12<7037-2113-917=7037-7の体系(Run No. 2~5, 7~9)の体系)
2.12, 90mm²のアラジン部分を除く2.12周囲は金属性
2.22113である。六面平均7037-1/2=7037-
部分のAlと金属性構成を模擬して2.12平均密度3.7
1.12<7037-2113。



Source

図 3.1 線源 (本系)



HETEROGENEOUS SYSTEM

3, 2 70, 7 3, 7, 0, 7

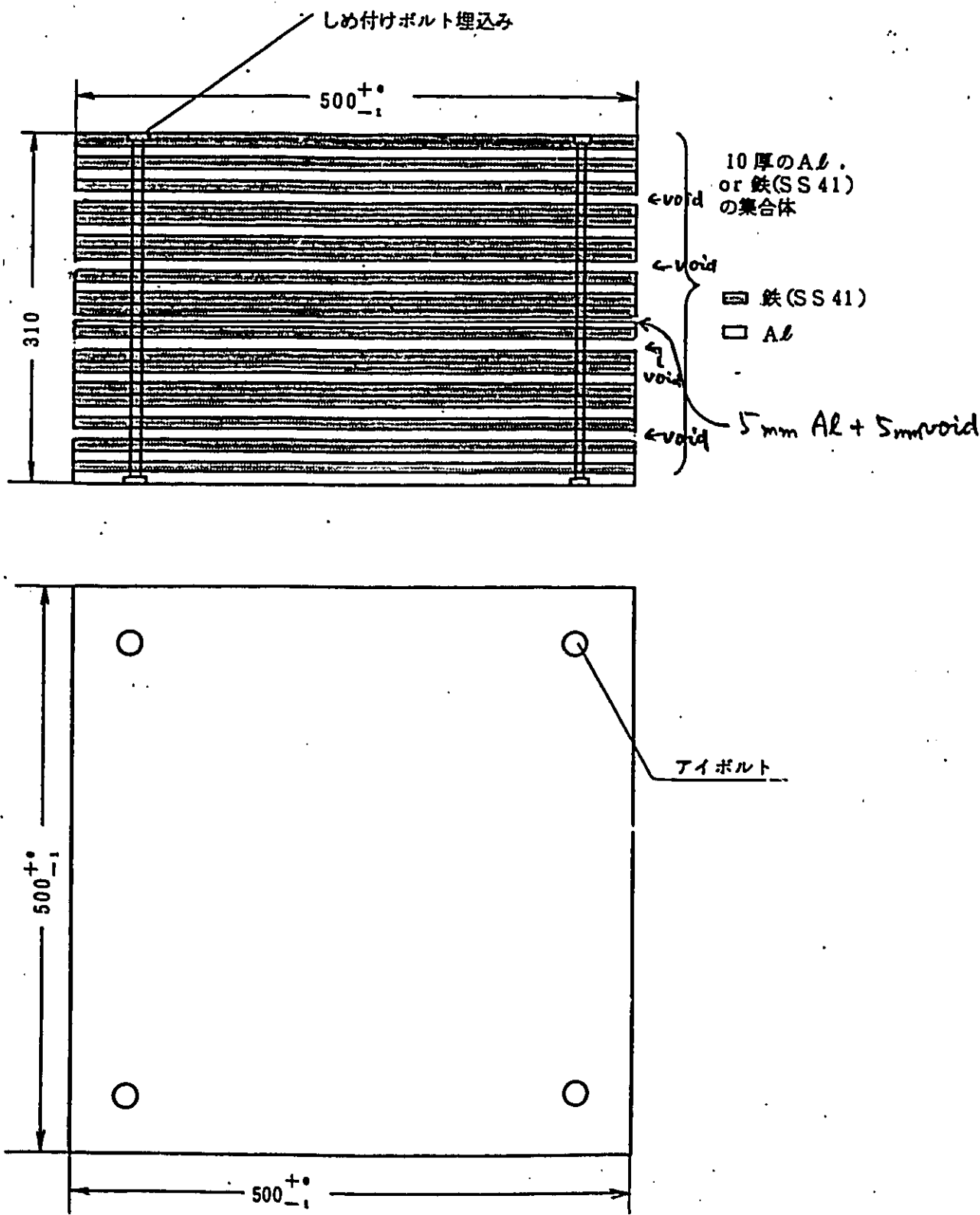
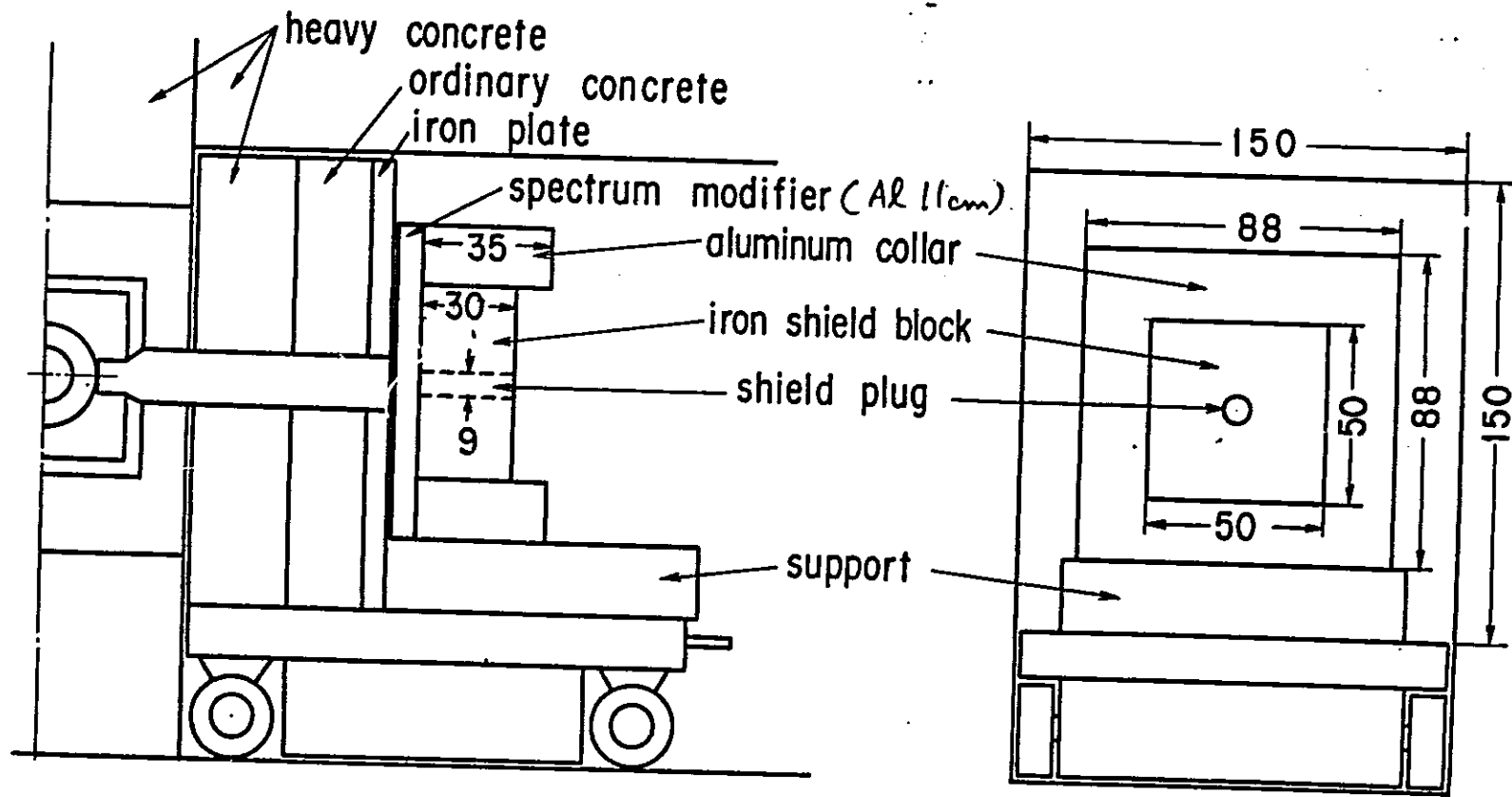


図 3.3. ハーフ平板体用 アルミニウム・鉄層状板

鉄板 1cm × 18枚
Al板 1cm × 8枚
Al板 0.5cm × 1枚
合計 4.5cm



(dimensions in cm)

図 3.4 2HII-3-7 実験体系 (非均質体系)

Heterogeneous configuration

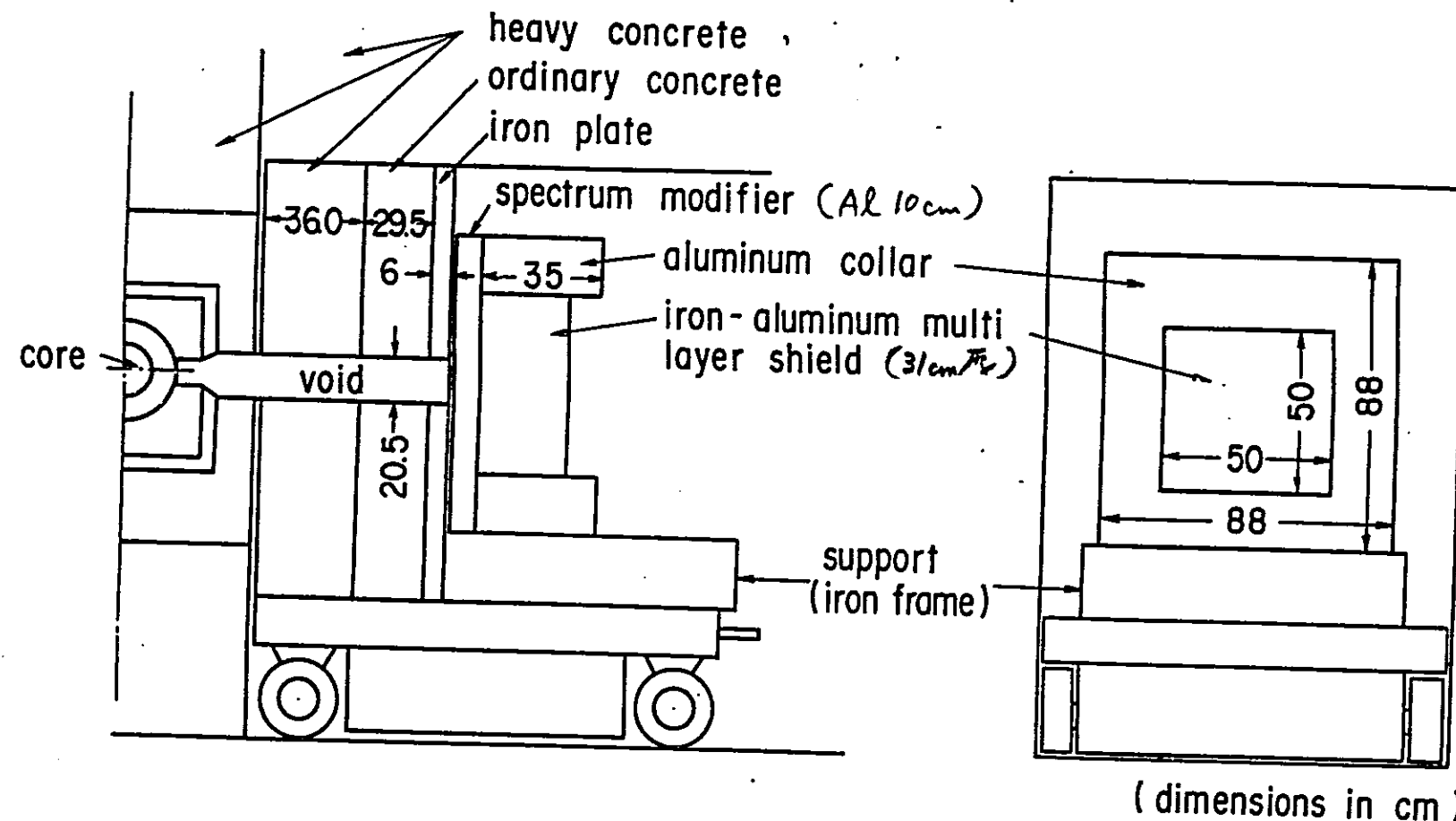


図 3.5 ストリーミング実験体系(均質体系)
Homogeneous configuration

UTNL-R

0188

Appendix.

弥生B運転位置ファーストコラム内に漏洩する
高速中性子ビームの線源としての特性

昭和 61 年 5 月

岡 芳 明, 秋 山 雅 肇
橋 倉 宏 行, 近 藤 駿 介

1.まえがき

「弥生」で遮蔽実験等を行い、それを中性子輸送計算により解析しようとする時、遮蔽体に入射する中性子の線源条件（線源の特性）をどうやって求めるかが問題になる。

その方法の1つは、「弥生」炉心と実験用供試体を含む体系について、中性子輸送計算を行い、実験用供試体に入射する角中性子束を求めることである。「弥生」炉心はグローリー孔、グレ・ジングル孔やビーム孔が円柱形の燃料部やブランケット部に開孔しているので、形状の正確な模擬には三次元モンテカルロ計算が必要である。しかし、現在ではモンテカルロ計算で、遮蔽体の解析に必要な角中性子束を求めるのは、計算時間の点でほとんど不可能である。そこで2次元Sn中性子輸送計算法がそのかわりに用いられる。この場合は、形状の近似が不充分なことによる誤差が入る。又、炉心から遮蔽体部までの中性子透過程に関する誤差は、いずれの方法を用いても入ることになる。しかしこそ強くて強い面状の線源を用いて遮蔽実験を行いたい時には、供試体入射部の中性子束分布を角度依存性まで含めて、実験的に決めることが不可能なので、やむをえずこの方法が用いられる。例えば「弥生」B位置上部クラムでの遮蔽実験には、炉心部を含めた2次元輸送計算で求めた遮蔽体入射面での中性子スペクトルを、入射面で実験的に求めた箔反応率にあうように修正して（アンフォールディングして）供試体解析の線源としていた。

[1] これにより空間分布、エネルギー・スペクトルの誤差は減ることになる、但し中性子束の角度分布は実験による情報がないので修正されない。しかしこの方法は大変繁雑であり、実験解析各にこうしたことを行っては大変である。また、線源条件は供試体入射面の全メッシュ点での角度中性子束という大量のデータとして与えられるため、コンパクトにレポートなどにそれを記載できないという欠点もある。

第2の方法は、線源条件を実験的に決めることがある。実験で中性子束の角度分布を決めることはほとんど不可能であるが、線源がコリメートされたビーム状である時は、角度分布に関するあいまいさが減るので、この方法によって供試体に

入射する線源の特性を比較的精度よく求めることができる。又、解析を行う際には、炉心部を含めた計算を行う必要はなく、供試体入射部に線源を設定してやればよい。（周囲の散乱体は計算体系に含める必要がある。）

遮蔽実験のためには、一般的に言って線源強度はなるべく強い方がのぞましい。「弥生」でビーム状の強い線源の得られる位置は、ファーストコラム内及びサマルコラム内である。但し、36cm 厚の重コンクリート板 1枚をコリメータとしていたのでは、その中央の直径20.5cm のビーム孔を通じて漏洩する中性子の総量に比して、重コンクリート部を透過して漏洩する中性子量も、その部分の面積が広いのでかなりあると思われる。そこで、コリメータとして重コンクリート板に重ねて、もう一枚普通コンクリートよりなる厚さ約36cm の遮蔽板をつけて充分ビームをコリメートして、その外側に遮蔽実験用供試体を置いた実験がいくつかなされている。それらには次のものがある。（図1-3参照）

- 1.キャビティ・ダクト体系ストリーミング測定実験 [2], [3]
 - 2.劣化ウラン層状体系透過実験 [4], [5]
 - 3.狭小間隙ストリーミング測定実験 [6], [7]
- これらの実験を通じて、線源の特性についてもほぼ明らかにできたと考えられるので本報告を作成した。

2. ファーストコラムに漏洩する高速中性子の特性

線源の特性は遮蔽実験用供試体を置かない状態で求めた。その体系を図4に示す。「弥生」炉心で発生した高速中性子は、劣化ウラン金属のプランケットを通り、鉛の反射体を貫通するビーム孔を通じて、36cm 厚の重コンクリート板と35.5cm 厚の普通コンクリート板（うち6cm 厚は鉄板）の中央に開いた20.5cm 直径のビーム孔を通じて、ファーストコラムに漏洩する。図中のX印のついている面での線源の特性が求めたいものである。

重コンクリート板、普通コンクリート板と、それに付属する6cm の鉄板の原子数密度を表1に示す。弥生炉心部に関する原子数密度は、参考文献(1)を参照され

たい。

2-1. 線源スペクトルの決定

線源のスペクトルを全エネルギー領域について明らかにするために、核分裂計数管と放射化箱の反応率を図4に示した線源の中央(X印の点)で測定した。用いた検出器は次の19種類である。

A. 核分裂計数管(m,f,c)

- (1) U-235 m,f,c
- (2) U-235 m,f,c カドミウムフィルタ付
- (3) U-235 m,f,c ポロンフィルタ付
- (4) U-238 m,f,c

B. 放射化箱

- (1) $^{27}\text{Al}(n,\gamma)$
- (2) $^{27}\text{Al}(n,\alpha)$
- (3) $^{115}\text{In}(n,n')$
- (4) $^{58}\text{Ni}(n,p)$
- (5) $^{56}\text{Fe}(n,p)$
- (6) $^{55}\text{Mn}(n,\gamma)$ カドミウムフィルタ付
- (7) $^{55}\text{Mn}(n,\gamma)$ ポロンフィルタ付
- (8) $^{186}\text{W}(n,\gamma)$ カドミウムフィルタ付
- (9) $^{186}\text{W}(n,\gamma)$
- (10) $^{63}\text{Cu}(n,\gamma)$
- (11) $^{63}\text{Cu}(n,\gamma)$ カドミウムフィルタ付
- (12) $^{63}\text{Cu}(n,\gamma)$
- (13) $^{197}\text{Au}(n,\gamma)$
- (14) $^{197}\text{Au}(n,\gamma)$ カドミウムフィルタ付
- (15) $^{197}\text{Au}(n,\gamma)$ ポロンフィルタ付

その測定結果を表2に示す。なおボロンフィルタは船舶技研の厚さ5mmの濃縮B-10の球殻状フィルタである。

これらの反応率をもとに、SAND-IIにより unfolding を行いソーススペクトルを求めた。SAND-IIでは620群のスペクトルが得られるが、通常の解析ではDLC-2構造の100群定数が1次元Sn輸送計算でよく用いられるので、620群で得たスペクトルからこの群構造の100群の中性子スペクトルを作った。DLC-2の群構造を表3に、この構造で示した弥生の炉出が1ワット当りの図4のX印の位置での線源の群中性子束を表4に示す。なお第100群には1mm厚のカドミウムフィルタを線源ビームにかぶせて実験することを想定してそれがついた状態のものにしてある。(普通コンクリート内面で発生する熱中性子を除くため。)

これが本報告の中心となる結果である。実験解析ではこのスペクトルを計算の線源(境界線源)として用いるとよい。このスペクトルの形を図5に示す。点線は2次元計算などに用いる少数群(13群)のスペクトルであり、これは100群のスペクトルを縮約して求められる。

線源スペクトルの誤差の程度を知るために、測定した反応率が測定誤差も含めた上限であった場合と下限であった場合の2ケースについてそれぞれの反応率値を用いてSAND-IIでアンフォールディングを行った。それを100群の群中性子束結果として表5に示してある。ここで上限とは測定値をE、その測定誤差をeとした時に $E+e$ の反応率のことであり下限値とは $E-e$ のことである。13群のスペクトルについて、その誤差の程度を示したもののが図6に示す。これには100群のスペクトル(中央値)も示してある。

2-2. 線源のスペクトルのバラメータ表示

線源スペクトルをバラメータ表示式で表わすことは簡易計算などの際有用である。ここでは前記の100群表示のスペクトルが求まる以前に少数の反応率から求めて使用していたバラメータ表示式を示す。反応率としては表6に示す8種の測定値が使われた。バラメータ表示式は次の4つのモードであらわすと仮定されてい

る。

$$\phi(E) = a_1 \chi(E) + a_2 \phi_{in}(E) + a_3 \phi_{el}(E) + a_4 M(E)$$

ここで第1項は核分裂スペクトルのモード

第2項は非弾性散乱によるスペクトルのモード

第3項は弾性散乱によるスペクトルのモード

第4項はマクスウェル分布によるスペクトルのモード

である。各モードのスペクトルの形は不变として a_1, a_2, a_3, a_4 を表6の測定値にあうようにして決めたバラメータ表示式は次のようになる。

$$\begin{aligned}\phi(E) = & 8.60 \times 10^{-4} E^{0.5} \exp(-7.75 \times 10^{-4} E) \\ & + 2.00 \times 10^{-2} E^{-0.2} \exp(-4.42 \times 10^{-5} E^{1.5}) \\ & + 2.50 \times 10^1 E^{-0.7} \exp(-3.76 \times 10^{-3} E - 0.0316 E^{-0.5}) \\ & + 2.20 \times 10^8 E \exp(-E/2.58 \times 10^{-5}) \quad , \quad (E \text{ in keV})\end{aligned}$$

表6にはこの表示式によって求めた反応率をCとして測定値との比をC/Eで示してある。

このスペクトル表示式は、前記のSAND-IIのアンフォールディングの初期スペクトルとしても用いられている。簡易計算などでない場合は、表4に示した100群のものを線源のスペクトルとして用いるのがのぞましい。図7にはこのスペクトル表示式によりあらわされるスペクトルの形を参考のため示す。正確なスペクトル（図6）とはやや形が異なっている。

2-3. 線源の空間的広がり

線源の角度分布に関する情報を知る手がかりとして、線源ビームの広がりを種々の検出器で測定した。まず2インチ径のNE213シンチレータと、直径5cmの球形水素ガス比例計数管(2気圧と8気圧)を用いて、線源面と線源面からビーム軸方向に40cm離れた面での、ビームの広がりをカウントレートで測定した。その結果を図8に示す。高速中性子ビームは40cmの間でほとんど広がっていないことがわかる。

次にカドミウムカバをつけた直径6mmの金箔で測定した線源面とそれからビ-

ム軸方向に5cm 離れた面でのビ・ムの広がり(反応率の分布)を図9に示す。又、図10には、カドミウムカバ-なしの金箔の反応率で測定したビ・ムの広がりを示す。「弥生」は高速炉であるので、熱中性子は普通コンクリ-トを貫通しているビ・ム孔の内面で発生したものと思われる。なおファ-ストコラムの壁は、重コンクリ-トでできているので、ほとんど熱中性子は発生しない。

また、ビ・ム上のみならず遮蔽板の部分も含めた面での反応率分布が、カドミウムカバ-を付けた金箔とカバ-無の金箔で測定されている。ビ・ム出口面(線源面, $Z=0\text{cm}$)での結果を表7に、そこからビ・ム軸方向に5cm離れた面($Z=5\text{cm}$)での測定結果を相対値で表8に示す。

又、U-235 マイクロフィッショングエンバ-にボロンフィルタ-とカドミウムフィルタ-をつけて $Z=15\text{cm}$ の面で測定した反応率を相対値で表9に示す。R=11cmより大きいところはビ・ムからかくれている面であるが低エネルギー-中性子のしみ出しが少しあることがわかる。この低エネルギー-中性子のしみ出しの影響が、供試体内の反応率分布の解析に与える影響を求める例は、参考文献(5)の劣化ウラン・アルミニウム層状体系の実験解析にあり、そのP.96-99に結果が述べられている。それによると、その影響による劣化ウラン体系での反応率の増加はAu(n, γ)と $^{235}\text{U}(n, f)$ 反応率とも6%以内であるとしている。精度のよい実験のためには低エネルギー-中性子吸収用のボロン層などを、コンクリ-ト遮蔽板(コリメ-タ)の外側に置いて実験する方がよいかもしれない。

2-4.NE213シンチレ-タと球形水素ガス比例計数管で求めた線源の高速中性子スペクトル

線源の高速中性子のスペクトルが、以前にキャビティ・ダクト体系及びスリット・ダクト体系のストリ-ミング測定実験の際に、2インチのNE213シンチレ-タと8気圧と2気圧の 5cm径の球形水素ガス比例計数管で求められている。[2],[3] アンフォ-ルディングはNE213についてはVerbinskiのレスポンスを用いてFERDOR コードで球形水素ガス比例計数管についてはSPEC-4コードを用いて行われた。

キャビティ・ダクト体系はすでに示した図1である。スリット・ダクト体系を図11に示す。線源スペクトルの測定位置は、いずれも図のA点であり、この測定の時は、図の中に示されている漏洩したビームの当る140cm厚の普通コンクリートに6cmの鉄板のついた巨大なブロックは置かれていない。即ち供試体はセットしないで、線源のみを測定している。その測定結果をやはりDLC-2 の100群構造で表10に示す。

キャビティ・ダクト体系のスペクトルは、本来、表4 や図5 に示した反応率のアンフォールディングで求めた線源のスペクトルと一致すべきものである。単位をそろえて比較したところ、20-50%の差がある群もあるが、大体よく一致していることがわかった。高速中性子のみを解析するならば、表10 に示したもの線源条件として使用してもよいと思われる。

3.まとめ

ファーストコラム内に漏洩する中性子束の、全エネルギーにわたるスペクトルが求められた。このスペクトルを解析の線源条件として用いると、炉心を含めて解析する場合に比して、ずっと容易にこの線源を使って行われた実験の解析を行うことができるであろう。なお、輸送計算のモデルは普通コンクリート遮蔽板も含めて作り、その内部境界線源として上記のスペクトルを用いることがのぞましい。これにより供試体と遮蔽板との相互干渉を計算で考慮できる。

引用文献

- (1)Y.Oka et al. "Neutron and Gamma-Ray Penetrations through Thick Iron"
Nucl.Sci.Eng.73 259-273(1980)
- (2)福本英士, 修士論文 昭和57年3月
- (3)橋倉宏行 他, 「ダクトストリーミング実験Ⅱ,Ⅲ」 UTNL-R-0121(昭和57年3月)
- (4)片岡一芳, 卒業論文(昭和60年3月)

(5)児玉徹彦,修士論文(昭和61年3月)

(6)築島千尋,卒業論文(昭和60年3月)

(7)Y.Oka et al. "Neutron Streaming through Narrow and Long Annulus"

J.Nucl.Sci.Technol.23 387-394(1986)

Table 1 Atomic number densities of the regions
 $(\times 10^{24} \text{ atoms/cm}^3)$

element	(1) heavy concrete	(2) ordinary concrete	(3) iron plate (SS41)
H	4.997-2*	1.568-2	-
B	-	-	8.759-7
C	-	-	7.095-4
O	4.379-2	4.265-2	-
Ni	-	5.001-4	-
Mg	-	3.134-4	-
Al	1.890-4	2.146-3	-
Si	1.043-3	1.276-2	4.383-4
P	-	2.158-5	3.515-5
S	-	5.838-5	2.658-5
K	-	3.009-4	-
Ca	2.200-3	3.816-3	-
Ti	-	8.375-5	-
Cr	-	-	9.105-6
Mn	-	9.734-4	8.962-4
Fe	2.552-2	5.746-4	8.347-2
Ni	-	-	8.065-6
Cu	-	-	-
Pb	-	5.807-7	-

*read as 4.997×10^{-2}

Table 2 Reaction rates of source spectrum measurement experiment

Reaction		Reaction rate (n/atom/s/W)	Error (%)
Au(n,g)	bare	7.973-18	7.654
	Cd-cover	4.647-18	7.634
	B-cover	3.069-18	7.632
235U(n,f)	bare	8.706-18	5.000
	Cd-cover	2.531-18	5.000
	B-cover	3.355-20	5.000
63Cu(n,g)	Cd-cover	3.940-20	34.260
	B-cover	1.758-20	34.340
55Mn(n,g)	Cd-cover	1.200-19	7.674
	B-cover	3.108-20	7.747
186W(n,g)	Cd-cover	4.355-18	7.806
	B-cover	9.619-20	7.750
238U(n,f)		1.556-20	5.000
58Ni(n,p)		3.771-21	7.552
115In(n,n)		8.606-21	7.798
27Al(n,a)		3.189-23	7.965
56Fe(n,p)		5.637-23	7.651
27Al(n,p)		8.303-23	13.550
63Cu(n,g) bare		1.407-19	34.210

Table 3. DLC-2 type energy group structure

*** NEUTRON GROUP ***

GROUP	ENERGY RANGE	GROUP	ENERGY RANGE
1	1.4918E+07	1	8.6617E+04
2	1.3499E+07	2	6.7379E+04
3	1.2214E+07	3	5.2475E+04
4	1.1052E+07	4	4.0868E+04
5	1.0000E+07	5	3.1828E+04
6	9.0484E+06	6	2.4788E+04
7	8.1873E+06	7	1.9305E+04
8	7.4082E+06	8	1.5034E+04
9	6.7032E+06	9	1.1709E+04
10	6.0653E+06	10	9.1188E+03
11	5.4881E+06	11	7.1017E+03
12	4.9659E+06	12	5.5308E+03
13	4.4933E+06	13	4.3075E+03
14	4.0657E+06	14	3.3546E+03
15	3.6788E+06	15	2.6126E+03
16	3.3287E+06	16	2.0347E+03
17	3.0119E+06	17	1.5846E+03
18	2.7253E+06	18	1.2341E+03
19	2.4660E+06	19	9.6112E+02
20	2.2313E+06	20	7.4852E+02
21	2.0190E+06	21	5.8295E+02
22	1.8268E+06	22	4.5400E+02
23	1.6530E+06	23	3.5557E+02
24	1.4957E+06	24	2.7536E+02
25	1.3534E+06	25	2.1445E+02
26	1.2246E+06	26	1.6702E+02
27	1.1080E+06	27	1.3007E+02
28	1.0026E+06	28	1.0130E+02
29	9.0718E+05	29	7.8893E+01
30	8.2085E+05	30	6.1442E+01
31	7.4274E+05	31	4.7851E+01
32	6.7206E+05	32	3.7267E+01
33	6.0810E+05	33	2.9023E+01
34	5.5023E+05	34	2.2603E+01
35	4.9787E+05	35	1.7603E+01
36	4.5049E+05	36	1.3710E+01
37	4.0762E+05	37	1.0677E+01
38	3.6883E+05	38	8.3153E+00
39	3.3373E+05	39	6.4760E+00
40	3.0197E+05	40	5.0435E+00
41	2.7324E+05	41	3.9279E+00
42	2.4274E+05	42	3.0590E+00
43	2.2371E+05	43	2.3824E+00
44	2.0242E+05	44	1.8554E+00
45	1.8316E+05	45	1.4450E+00
46	1.6573E+05	46	1.1254E+00
47	1.4996E+05	47	8.7642E-01
48	1.3569E+05	48	6.8256E-01
49	1.2277E+05	49	5.3158E-01
50	1.1109E+05	50	4.1399E-01
		100	1.0000E-03

7

Table.4 Group flux and spectrum of the source neutrons

Energy group No.	Average group flux [n/cm ² /s/w]	#	Neutron spectrum [n/cm ² /s/lethargy/w]
1	3.0529 E+00	#	3.0529 E+01
2	7.2885 E+00		7.2885 E+01
3	1.5379 E+01		1.5379 E+02
4	2.9576 E+01		2.9576 E+02
5	5.4360 E+01		5.4359 E+02
6	1.0056 E+02		1.0056 E+03
7	1.9132 E+02		1.9132 E+03
8	3.5735 E+02		3.5735 E+03
9	6.1455 E+02		6.1455 E+03
10	7.2198 E+02		7.2198 E+03
11	5.5359 E+02		5.5359 E+03
12	4.8861 E+02		4.8861 E+03
13	5.5188 E+02		5.5188 E+03
14	6.8856 E+02		6.8856 E+03
15	9.0570 E+02		9.0570 E+03
16	1.1735 E+03		1.1735 E+04
17	1.4271 E+03		1.4271 E+04
18	1.8441 E+03		1.8441 E+04
19	2.2150 E+03		2.2149 E+04
20	2.8736 E+03		2.8736 E+04
21	3.3372 E+03		3.3372 E+04
22	3.7352 E+03		3.7352 E+04
23	3.9700 E+03		3.9700 E+04
24	3.5198 E+03		3.5198 E+04
25	2.8002 E+03		2.8002 E+04
26	2.8220 E+03		2.8220 E+04
27	2.9401 E+03		2.9401 E+04
28	3.3372 E+03		3.3372 E+04
29	3.3139 E+03		3.3139 E+04
30	3.6639 E+03		3.6639 E+04
31	4.0271 E+03		4.0271 E+04
32	4.3980 E+03		4.3979 E+04
33	4.7121 E+03		4.7121 E+04
34	4.8951 E+03		4.8951 E+04
35	4.9973 E+03		4.9973 E+04
36	4.9956 E+03		4.9956 E+04
37	5.0441 E+03		5.0441 E+04
38	4.9120 E+03		4.9120 E+04
39	4.7236 E+03		4.7236 E+04
40	4.5869 E+03		4.5869 E+04
41	4.6672 E+03		4.6672 E+04
42	3.4095 E+03		3.4095 E+04
43	4.0143 E+03		4.0143 E+04
44	3.8337 E+03		3.8337 E+04
45	3.6787 E+03		3.6787 E+04
46	3.4684 E+03		3.4684 E+04
47	3.2916 E+03		3.2916 E+04
48	3.0993 E+03		3.0993 E+04
49	2.9250 E+03		2.9250 E+04
50	6.3849 E+03		2.5539 E+04

#read as 3.0529×10^9

Table.4(continued)

Energy group No.	Average group flux	Neutron spectrum
51	5.6163 E+03	2.2465 E+04
52	4.8743 E+03	1.9497 E+04
53	4.4022 E+03	1.7609 E+04
54	3.8896 E+03	1.5558 E+04
55	3.5139 E+03	1.4056 E+04
56	3.2264 E+03	1.2906 E+04
57	2.9955 E+03	1.1982 E+04
58	2.8058 E+03	1.1223 E+04
59	2.8048 E+03	1.1219 E+04
60	2.8942 E+03	1.1577 E+04
61	3.2955 E+03	1.3182 E+04
62	3.2314 E+03	1.2925 E+04
63	4.1393 E+03	1.6557 E+04
64	3.3597 E+03	1.3439 E+04
65	2.3585 E+03	9.4340 E+03
66	3.3129 E+03	1.3252 E+04
67	4.4742 E+03	1.7897 E+04
68	2.6124 E+03	1.0450 E+04
69	4.0258 E+03	1.6103 E+04
70	3.7822 E+03	1.5129 E+04
71	2.8135 E+03	1.1254 E+04
72	1.7559 E+03	7.0236 E+03
73	2.4063 E+03	9.6250 E+03
74	2.7857 E+03	1.1143 E+04
75	3.1726 E+03	1.2690 E+04
76	3.2762 E+03	1.3105 E+04
77	2.5826 E+03	1.0330 E+04
78	2.0316 E+03	8.1262 E+03
79	2.3350 E+03	9.3398 E+03
80	2.5760 E+03	1.0304 E+04
81	2.1097 E+03	8.4386 E+03
82	2.0321 E+03	8.1284 E+03
83	1.9381 E+03	7.7522 E+03
84	2.0090 E+03	3.0358 E+03
85	1.9849 E+03	7.9396 E+03
86	1.9514 E+03	7.8054 E+03
87	1.8761 E+03	7.5042 E+03
88	1.8580 E+03	7.4318 E+03
89	1.7918 E+03	7.1670 E+03
90	1.7036 E+03	6.8144 E+03
91	1.6164 E+03	6.4654 E+03
92	1.5144 E+03	6.0574 E+03
93	1.3929 E+03	5.5716 E+03
94	1.2320 E+03	4.9278 E+03
95	1.1037 E+03	4.4146 E+03
96	9.5102 E+02	3.8041 E+03
97	7.8530 E+02	3.1412 E+03
98	5.6968 E+02	2.2787 E+03
99	3.2371 E+02	1.2948 E+03
100	1.2168 E+02	2.0192 E+01

Table 5. Upper and lower group flux of the source neutrons

Energy group No.	Lower energy [eV]	Upper energy [eV]	Lower group flux [n/cm ² /s/W]	Upper group flux [n/cm ² /s/W]
1	1.3499 E+07 *	1.4918 E+07	2.8243 E+00	3.2815 E+00
2	1.2214 E+07	1.3499 E+07	6.7370 E+00	7.8400 E+00
3	1.1052 E+07	1.2214 E+07	1.4206 E+01	1.6552 E+01
4	1.0000 E+07	1.1052 E+07	2.7306 E+01	3.1846 E+01
5	9.0484 E+06	1.0000 E+07	5.0178 E+01	5.8541 E+01
6	8.1873 E+06	9.0484 E+06	9.2868 E+01	1.0825 E+02
7	7.4082 E+06	8.1873 E+06	1.7686 E+02	2.0577 E+02
8	6.7032 E+06	7.4082 E+06	3.3068 E+02	3.8401 E+02
9	6.0653 E+06	6.7032 E+06	5.6791 E+02	6.6119 E+02
10	5.4881 E+06	6.0653 E+06	6.6224 E+02	7.8171 E+02
11	4.9659 E+06	5.4881 E+06	5.0346 E+02	6.0372 E+02
12	4.4933 E+06	4.9659 E+06	4.4266 E+02	5.3455 E+02
13	4.0657 E+06	4.4933 E+06	5.0016 E+02	6.0361 E+02
14	3.6788 E+06	4.0657 E+06	6.2633 E+02	7.5079 E+02
15	3.3287 E+06	3.6788 E+06	8.2992 E+02	9.8149 E+02
16	3.0119 E+06	3.3287 E+06	1.0837 E+03	1.2633 E+03
17	2.7253 E+06	3.0119 E+06	1.3265 E+03	1.5277 E+03
18	2.4660 E+06	2.7253 E+06	1.7351 E+03	1.9531 E+03
19	2.2313 E+06	2.4660 E+06	2.1013 E+03	2.3286 E+03
20	2.0190 E+06	2.2313 E+06	2.7632 E+03	2.9839 E+03
21	1.8268 E+06	2.0190 E+06	3.2279 E+03	3.4465 E+03
22	1.6530 E+06	1.8268 E+06	3.6193 E+03	3.8510 E+03
23	1.4957 E+06	1.6530 E+06	3.8284 E+03	4.1116 E+03
24	1.3534 E+06	1.4957 E+06	3.2629 E+03	3.7766 E+03
25	1.2246 E+06	1.3534 E+06	2.4473 E+03	3.1531 E+03
26	1.1080 E+06	1.2246 E+06	2.4112 E+03	3.2328 E+03
27	1.0026 E+06	1.1080 E+06	2.4772 E+03	3.4029 E+03
28	9.0718 E+05	1.0026 E+06	2.7863 E+03	3.8880 E+03
29	8.2085 E+05	9.0718 E+05	2.7210 E+03	3.9068 E+03
30	7.4274 E+05	8.2085 E+05	3.0252 E+03	4.3025 E+03
31	6.7206 E+05	7.4274 E+05	3.3305 E+03	4.7237 E+03
32	6.0810 E+05	6.7206 E+05	3.6265 E+03	5.1694 E+03
33	5.5023 E+05	6.0810 E+05	3.8427 E+03	5.5814 E+03
34	4.9787 E+05	5.5023 E+05	3.9461 E+03	5.8441 E+03
35	4.5049 E+05	4.9787 E+05	3.9799 E+03	6.0146 E+03
36	4.0762 E+05	4.5049 E+05	3.9426 E+03	6.0486 E+03
37	3.6883 E+05	4.0762 E+05	3.9609 E+03	6.1274 E+03
38	3.3373 E+05	3.6883 E+05	3.8801 E+03	5.9639 E+03
39	3.0197 E+05	3.3373 E+05	3.7249 E+03	5.7223 E+03
40	2.7324 E+05	3.0197 E+05	3.6420 E+03	5.5317 E+03
41	2.4724 E+05	2.7324 E+05	3.1349 E+03	6.1995 E+03
42	2.2371 E+05	2.4724 E+05	2.7501 E+03	4.0689 E+03
43	2.0242 E+05	2.2371 E+05	3.2655 E+03	4.7631 E+03
44	1.8316 E+05	2.0242 E+05	3.1536 E+03	4.5138 E+03
45	1.6573 E+05	1.8316 E+05	3.0489 E+03	4.3085 E+03
46	1.4996 E+05	1.6573 E+05	2.8901 E+03	4.0467 E+03
47	1.3569 E+05	1.4996 E+05	2.7481 E+03	3.8351 E+03
48	1.2277 E+05	1.3569 E+05	2.5861 E+03	3.6125 E+03
49	1.1109 E+05	1.2277 E+05	2.4189 E+03	3.4311 E+03
50	8.6617 E+04	1.1109 E+05	5.2304 E+03	7.5393 E+03

* read as 1.3499×10^7

Table.5(continued)

Energy group No.	Lower energy	Upper energy	Lower group flux	Upper group flux
51	6.7379 E+04	8.6617 E+04	4.5430 E+03	6.6896 E+03
52	5.2475 E+04	6.7379 E+04	3.8925 E+03	5.8560 E+03
53	4.0868 E+04	5.2475 E+04	3.4645 E+03	5.3398 E+03
54	3.1828 E+04	4.0868 E+04	3.0686 E+03	4.7106 E+03
55	2.4788 E+04	3.1828 E+04	2.7356 E+03	4.2022 E+03
56	1.9305 E+04	2.4788 E+04	2.4792 E+03	3.9736 E+03
57	1.5034 E+04	1.9305 E+04	2.2783 E+03	3.7126 E+03
58	1.1709 E+04	1.5034 E+04	2.0191 E+03	3.5924 E+03
59	9.1188 E+03	1.1709 E+04	2.0991 E+03	3.5105 E+03
60	7.1017 E+03	9.1188 E+03	2.2525 E+03	3.5358 E+03
61	5.5308 E+03	7.1017 E+03	2.6516 E+03	3.9393 E+03
62	4.3075 E+03	5.5308 E+03	2.5206 E+03	3.9421 E+03
63	3.3546 E+03	4.3075 E+03	3.6926 E+03	4.5859 E+03
64	2.6126 E+03	3.3546 E+03	2.8773 E+03	3.8420 E+03
65	2.0347 E+03	2.6126 E+03	1.9287 E+03	2.7883 E+03
66	1.5846 E+03	2.0347 E+03	2.8663 E+03	3.7595 E+03
67	1.2341 E+03	1.5846 E+03	4.2870 E+03	4.6615 E+03
68	9.6112 E+02	1.2341 E+03	2.4793 E+03	2.7455 E+03
69	7.4852 E+02	9.6112 E+02	3.9417 E+03	4.1098 E+03
70	5.8295 E+02	7.4852 E+02	3.4756 E+03	4.0887 E+03
71	4.5400 E+02	5.8295 E+02	2.4233 E+03	3.2036 E+03
72	3.5357 E+02	4.5400 E+02	1.6833 E+03	1.8285 E+03
73	2.7536 E+02	3.5357 E+02	2.2931 E+03	2.5194 E+03
74	2.1445 E+02	2.7536 E+02	2.7454 E+03	2.8259 E+03
75	1.6702 E+02	2.1445 E+02	3.1883 E+03	3.1569 E+03
76	1.3007 E+02	1.6702 E+02	3.2995 E+03	3.2529 E+03
77	1.0130 E+02	1.3007 E+02	2.5909 E+03	2.5742 E+03
78	7.8893 E+01	1.0130 E+02	2.0087 E+03	2.0544 E+03
79	6.1442 E+01	7.8893 E+01	2.4508 E+03	2.2191 E+03
80	4.7851 E+01	6.1442 E+01	2.5923 E+03	2.5596 E+03
81	3.7276 E+01	4.7851 E+01	2.1841 E+03	2.0352 E+03
82	2.9023 E+01	3.7276 E+01	2.0416 E+03	2.0226 E+03
83	2.2603 E+01	2.9023 E+01	1.8714 E+03	2.0047 E+03
84	1.7603 E+01	2.2603 E+01	2.0345 E+03	1.9834 E+03
85	1.3710 E+01	1.7603 E+01	1.6322 E+03	2.3376 E+03
86	1.0677 E+01	1.3710 E+01	1.5400 E+03	2.3627 E+03
87	8.3153 E+00	1.0677 E+01	1.6030 E+03	2.1491 E+03
88	6.4760 E+00	8.3153 E+00	1.4732 E+03	2.2427 E+03
89	5.0435 E+00	6.4760 E+00	1.5794 E+03	2.0041 E+03
90	3.9279 E+00	5.0435 E+00	1.5460 E+03	1.8612 E+03
91	3.0590 E+00	3.9279 E+00	1.3174 E+03	1.9153 E+03
92	2.3824 E+00	3.0590 E+00	1.1314 E+03	1.8973 E+03
93	1.8554 E+00	2.3824 E+00	1.0378 E+03	1.7480 E+03
94	1.4450 E+00	1.8554 E+00	1.0881 E+03	1.3758 E+03
95	1.1254 E+00	1.4450 E+00	9.6202 E+02	1.2453 E+03
96	8.7642 E-01	1.1254 E+00	7.6113 E+02	1.1409 E+03
97	6.8256 E-01	8.7642 E-01	6.1630 E+02	9.5429 E+02
98	5.3158 E-01	6.8256 E-01	4.8920 E+02	6.5017 E+02
99	4.1399 E-01	5.3158 E-01	2.9400 E+02	3.5341 E+02
100	1.0000 E-03	4.1399 E-01	1.0707 E+02	1.3628 E+02

Table 6 Experimental reaction rates at the exit of
the source beam and ratios to the reaction
rates calculated from the formula

type of reactions	experimental reaction rate n·atom ⁻¹ ·s ⁻¹ ·Watt ⁻¹ and error in percent	C/E
²⁷ Al(n,α)	3.19 - 23 * ± 7.9 %	0.76
⁵⁸ Ni(n,p)	3.77 - 21 ± 7.6 %	1.02
¹¹⁵ In(n,n')	8.61 - 21 ± 7.8 %	0.74
¹⁹⁷ Au(n,γ)	7.97 - 18 ± 7.6 %	0.77
¹⁹⁷ Au(n,γ) Cd-covered	4.85 - 18 ± 7.6 %	1.19
²³⁵ U(n,f) Cd-covered	2.53 - 18 ± 5 %	0.85
²³⁸ U(n,f)	1.57 - 20 ± 5 %	1.36
⁶ LiF+CaSO ₄ TLD (UD136N)	1.792 - 3 ** ± 8 %	1.27

* read as 3.19×10^{-23}

** unit : R, 60Co equivalence·s⁻¹·Watt⁻¹

Table 7 Radial relative reaction rate distribution
at Z=0.0cm

R (cm)	5.0	7.0	9.0	11.0	13.0	15.0	17.0	19.0
Z=0.0cm bare	1.0	0.989	0.891	0.442	0.134	0.075	0.059	0.047
Z=0.0cm Cd-cover	1.0	0.959	0.886	0.423	0.166	0.088	0.061	0.050

Table 8 Radial relative reaction rate distribution
at Z=5.0cm

R (cm)	5.0	7.0	9.0	11.0	13.0	15.0	17.0	19.0
Z=5.0cm bare	1.0	0.736	0.881	0.401	0.276	0.212	0.116	0.082
Z=5.0cm Cd-cover	1.0	0.945	0.785	0.444	0.199	0.163	0.112	0.084

Table 9 Relative reaction rate distribution of
fission rate at Z=15.0(cm)

R (cm)	0.0	2.0	4.0	6.0	8.0	10.0	11.0	12.0	14.0	16.0	18.0	20.0
Cd	1.0	0.99	0.99	0.98	0.94	0.90	0.88	0.82	0.60	0.42	0.32	0.25
B-10	1.0	1.0	1.0	0.99	0.97	0.93	0.89	0.76	0.42	0.24	0.16	0.13

Table 10 Source Spectrum at the end of the collimator in
neutrons / cm².sec.MeV.watt

Group	Energy Range	Slit-duct Geometry	Cavity-duct Geometry
1	1.4918+07	1.3499+07	0.0
2	1.3499+07	1.2214+07	0.0
3	1.2214+07	1.1052+07	0.0
4	1.1052+07	1.0000+07	7.6
5	1.0000+07	9.0484+06	16.4
6	9.0484+06	8.1873+06	28.7
7	8.1873+06	7.4082+06	43.8
8	7.4082+06	6.7032+06	76.1
9	6.7032+06	6.0653+06	150.7
10	6.0653+06	5.4881+06	248.9
11	5.4881+06	4.9659+06	416.3
12	4.9659+06	4.4933+06	622.8
13	4.4933+06	4.0657+06	869.8
14	4.0657+06	3.6788+06	1065.9
15	3.6788+06	3.3287+06	1359.3
16	3.3287+06	3.0119+06	1922.0
17	3.0119+06	2.7253+06	2480.8
18	2.7253+06	2.4660+06	2729.6
19	2.4660+06	2.2313+06	3265.3
20	2.2313+06	2.0190+06	3596.3
21	2.0190+06	1.8268+06	5652.5
22	1.8268+06	1.6530+06	7558.5
23	1.6530+06	1.4957+06	10203.2
24	1.4957+06	1.3534+06	13691.7
25	1.3534+06	1.2246+06	21057.7
26	1.2246+06	1.1080+06	28708.1
27	1.1080+06	1.0026+06	44852.1
28	1.0026+06	9.0718+05	51088.2
29	9.0718+05	8.2085+05	46567.5
30	8.2085+05	7.4274+05	71266.5
31	7.4274+05	6.7206+05	54813.3
32	6.7206+05	6.0810+05	70971.8
33	6.0810+05	5.5023+05	109880.5
34	5.5023+05	4.9787+05	108762.1
35	4.9787+05	4.5049+05	98711.2
36	4.5049+05	4.0762+05	109472.9
37	4.0762+05	3.6883+05	126954.1
38	3.6883+05	3.3373+05	144071.8
39	3.3373+05	3.0197+05	161004.3
40	2.7324+05	2.7324+05	174314.6
41	2.7324+05	2.4724+05	182309.7
42	2.4724+05	2.2371+05	182309.7
43	2.2371+05	2.0242+05	175727.3
44	2.0242+05	1.8316+05	182036.0
45	1.8316+05	1.6573+05	216336.9
46	1.6573+05	1.4996+05	226117.0
47	1.4996+05	1.3569+05	210885.0
48	1.3569+05	1.2277+05	259336.7
49	1.2277+05	1.1109+05	262996.8
50	1.1109+05	8.6617+04	—

* DLC-2 Energy Structure (12)

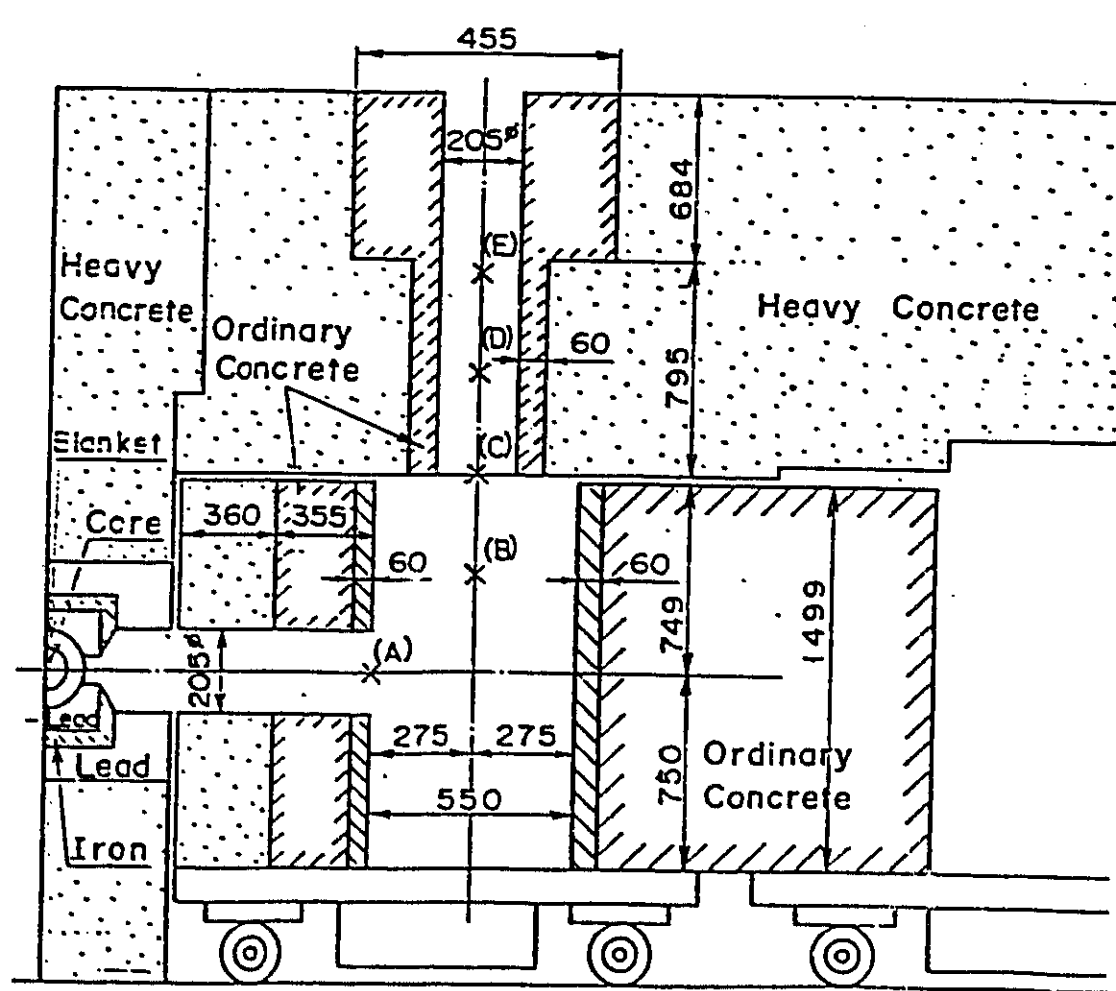
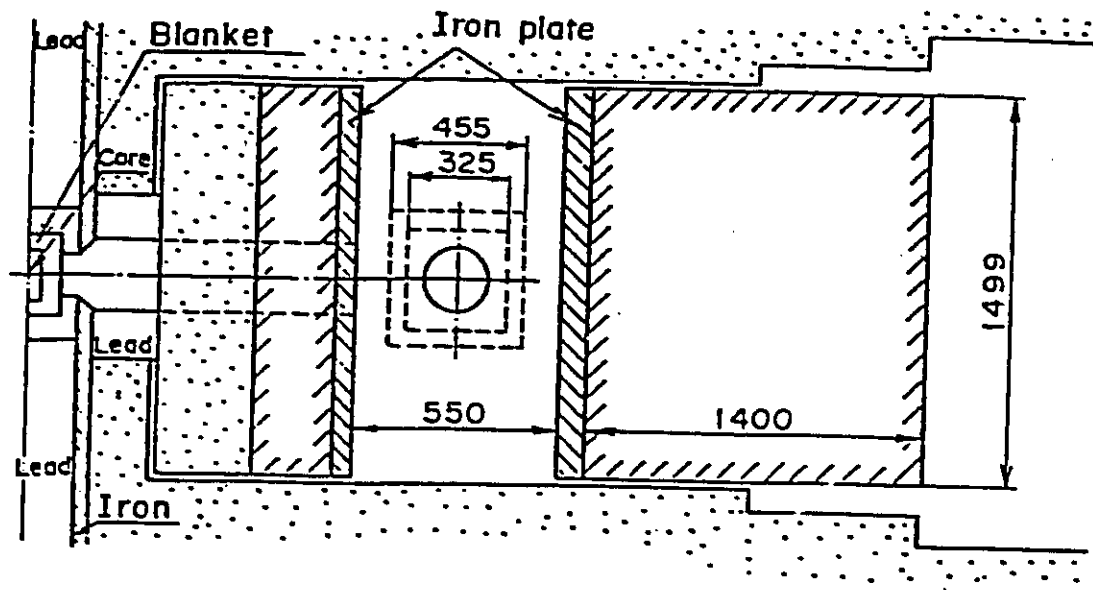


Fig. 1. Experimental arrangement of the Cavity-duct geometry

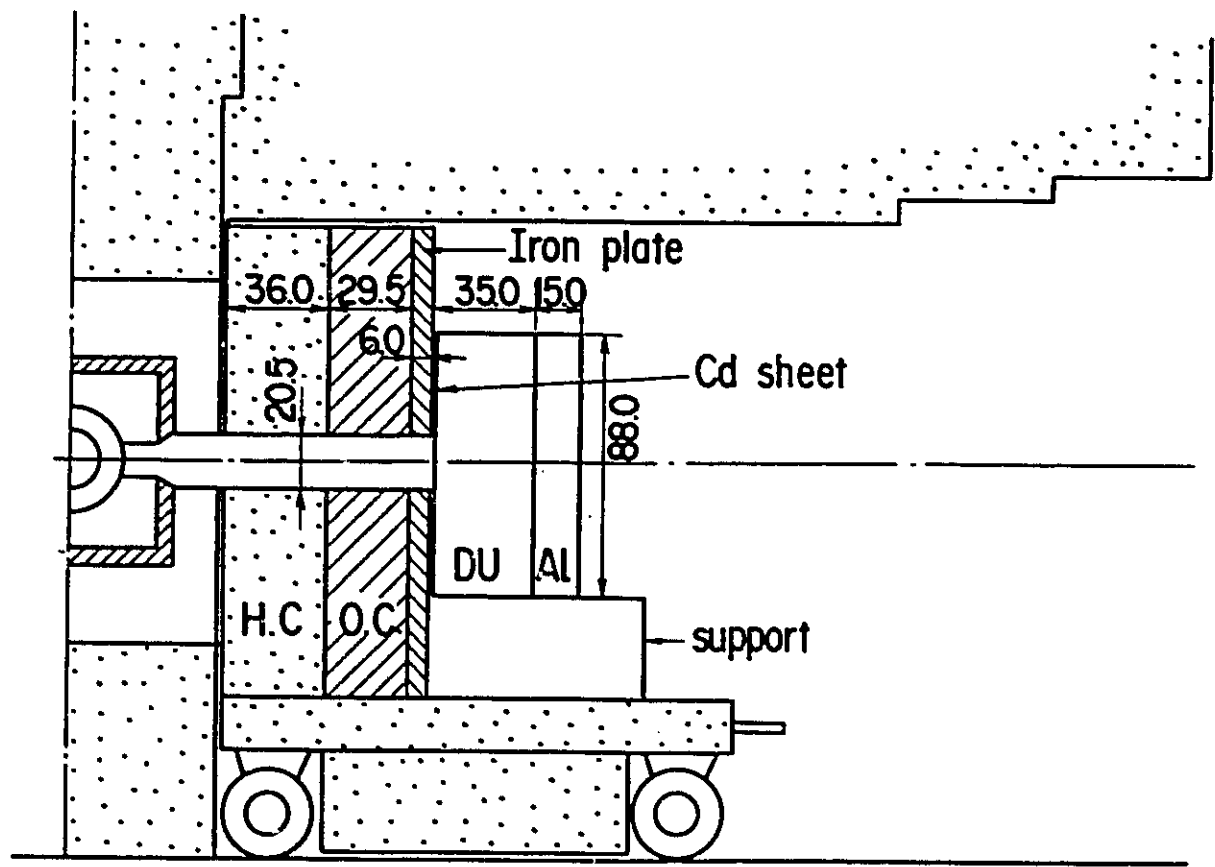


図2.劣化ウラン・アルミニウム層状体系透過実験

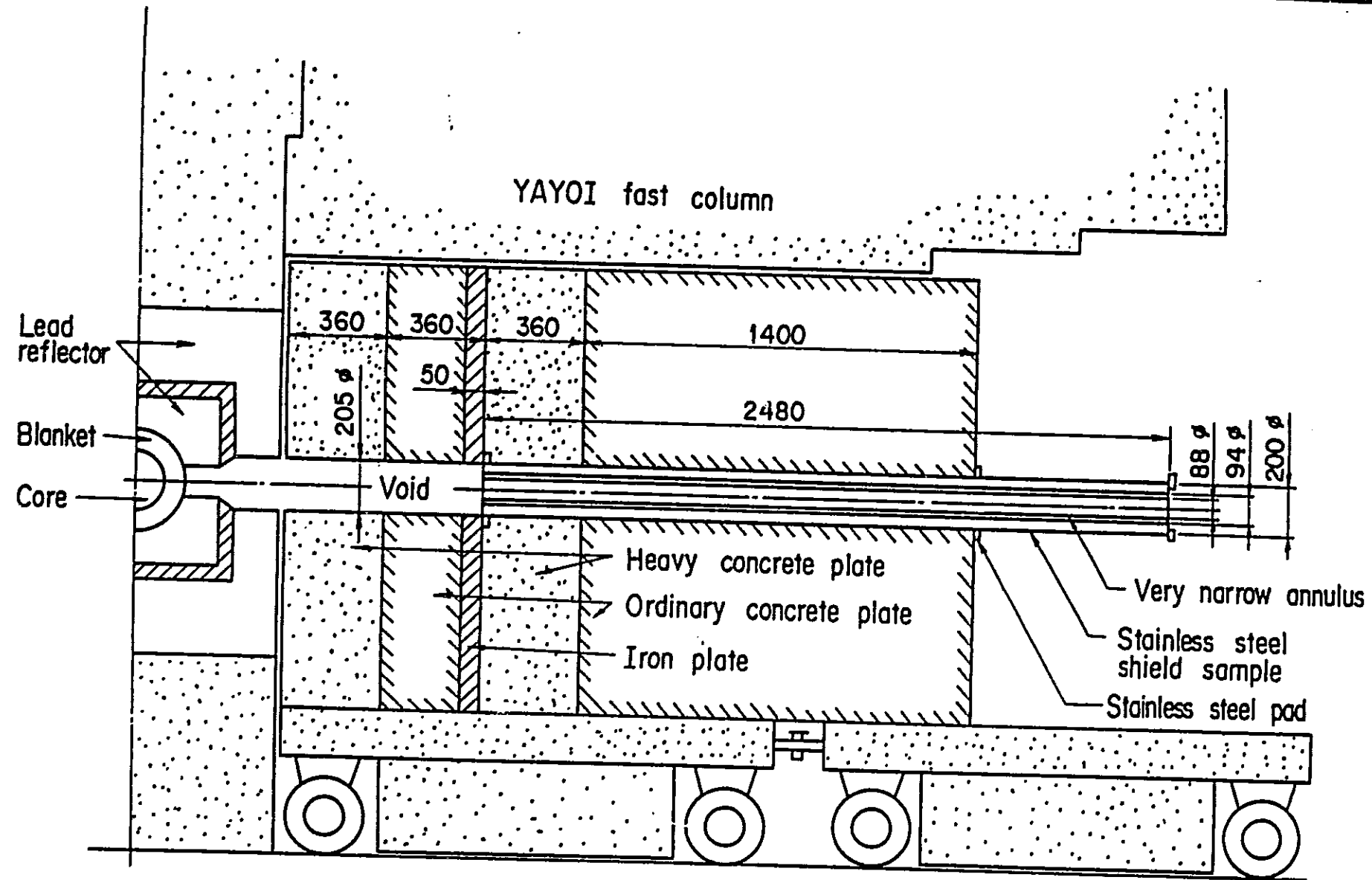


図3.狭小間隙ストリーミング実験

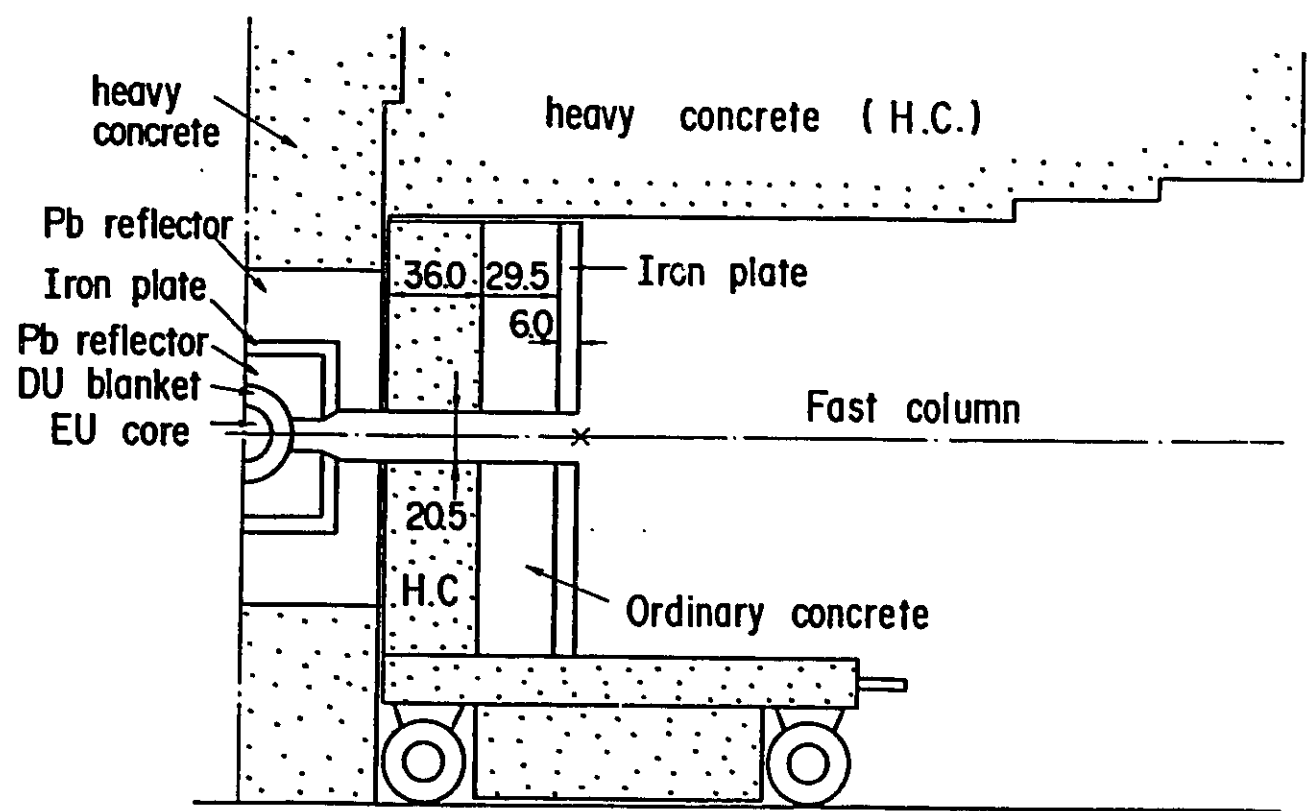


図4. 練源の特性が求められた体系(寸法 cm)

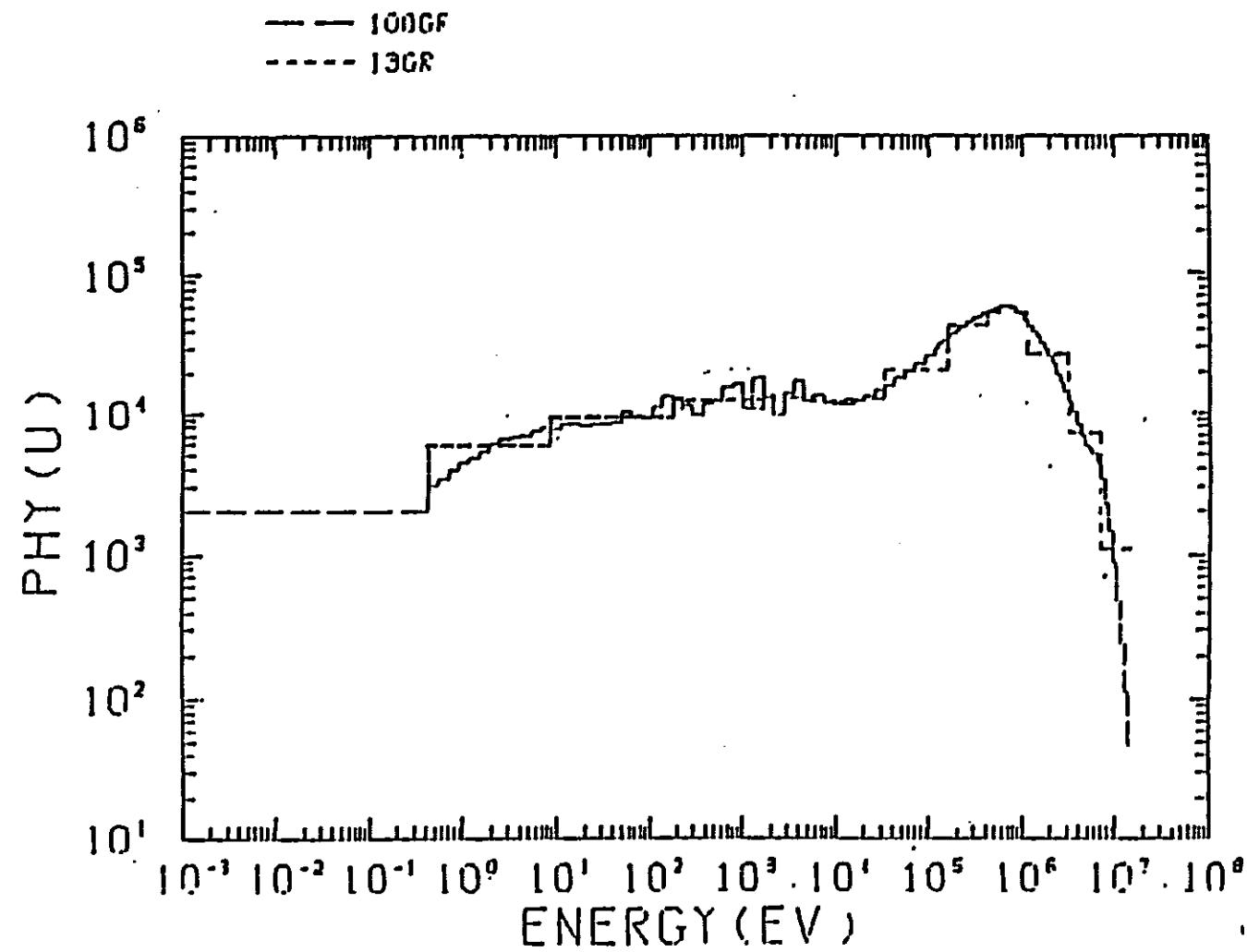


図5.線源の中性子スペクトル(100群と13群)

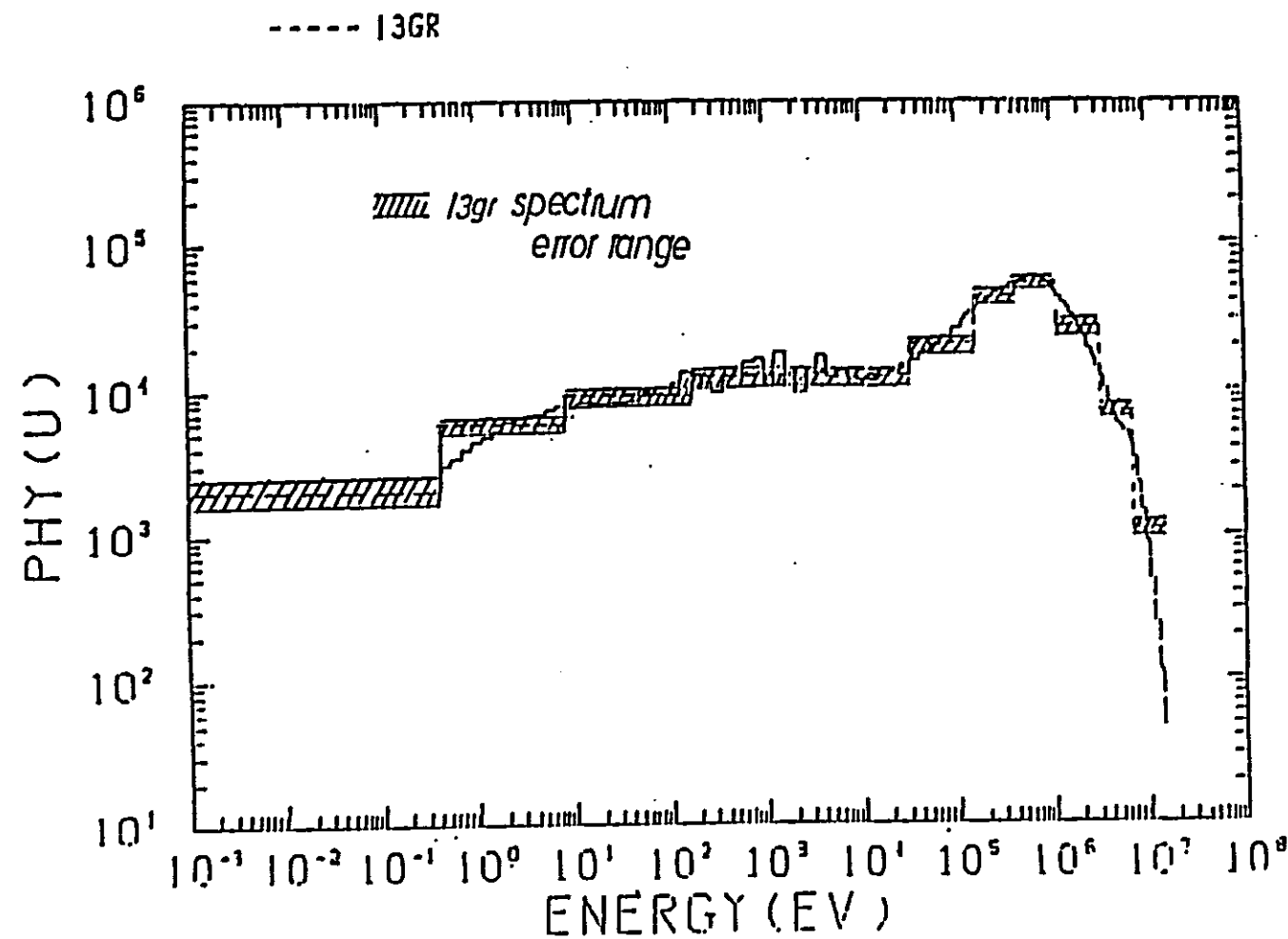


図6.線源の中性子スペクトルの上限値と下限値(13群)

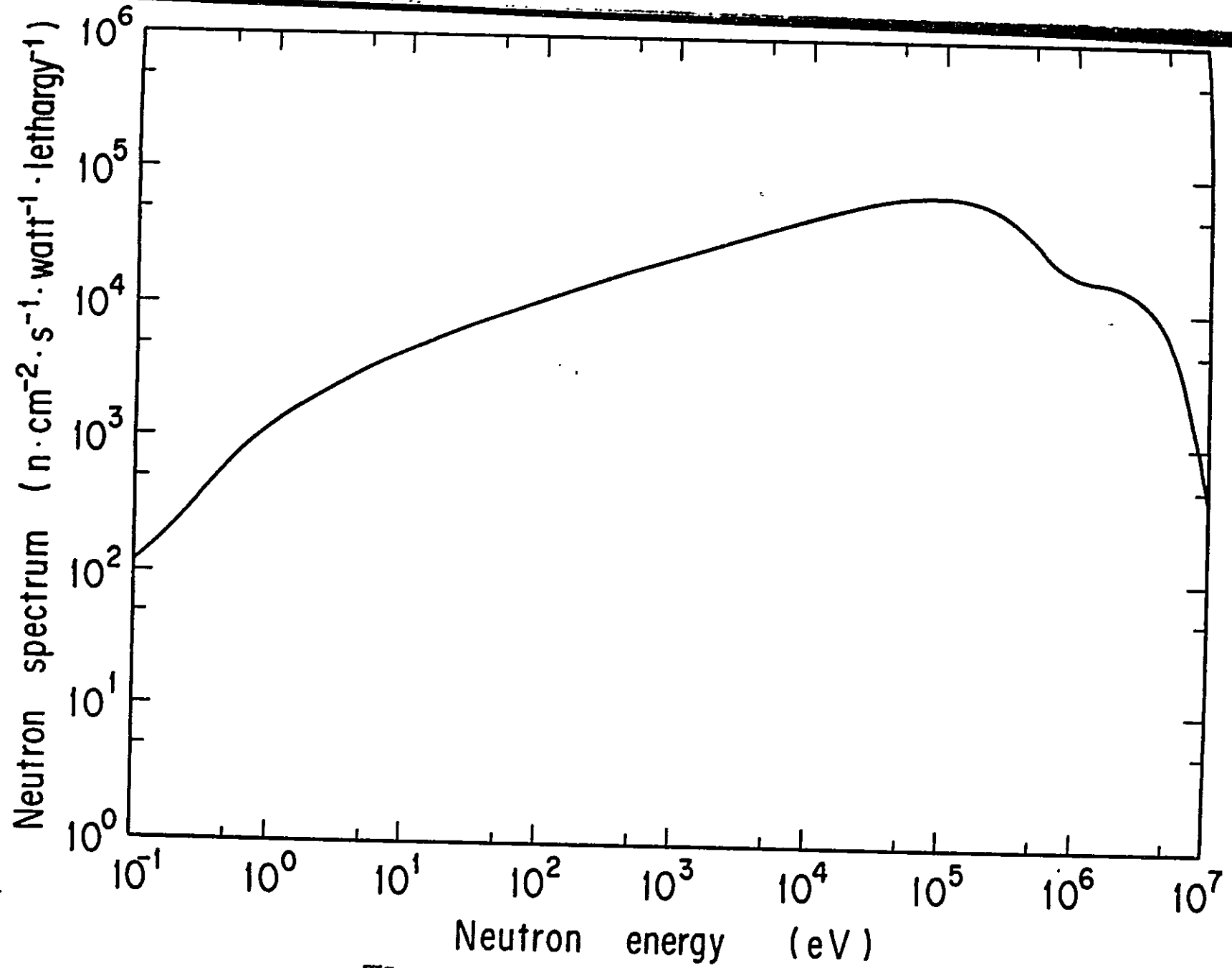


図7. スペクトル表示式によってあらわされた線源のスペクトル

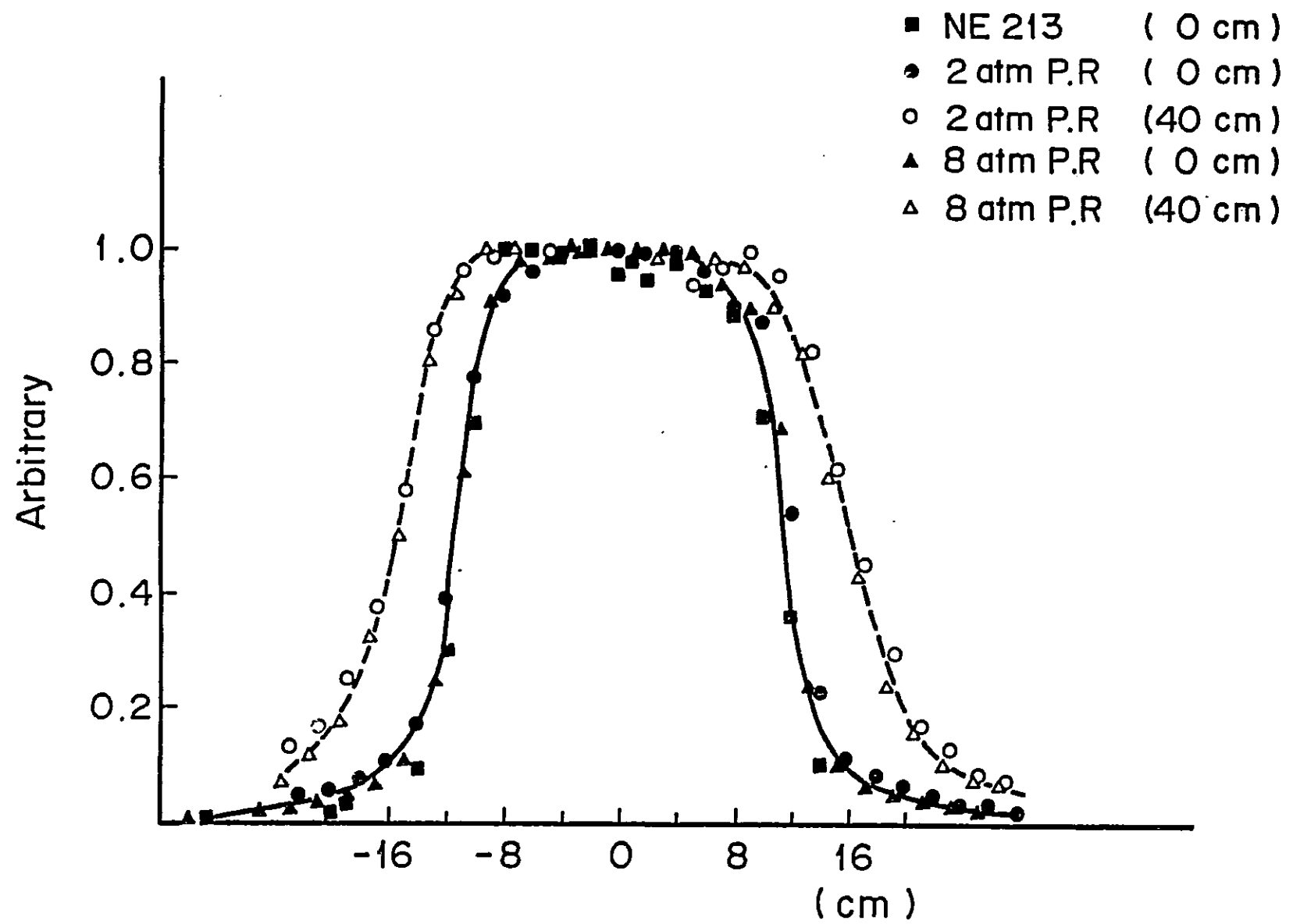


図8.NE213シンチレータと球形水素ガス比例計数管で測定したビームの広がり（線
源面0cmと40cm離れた面）

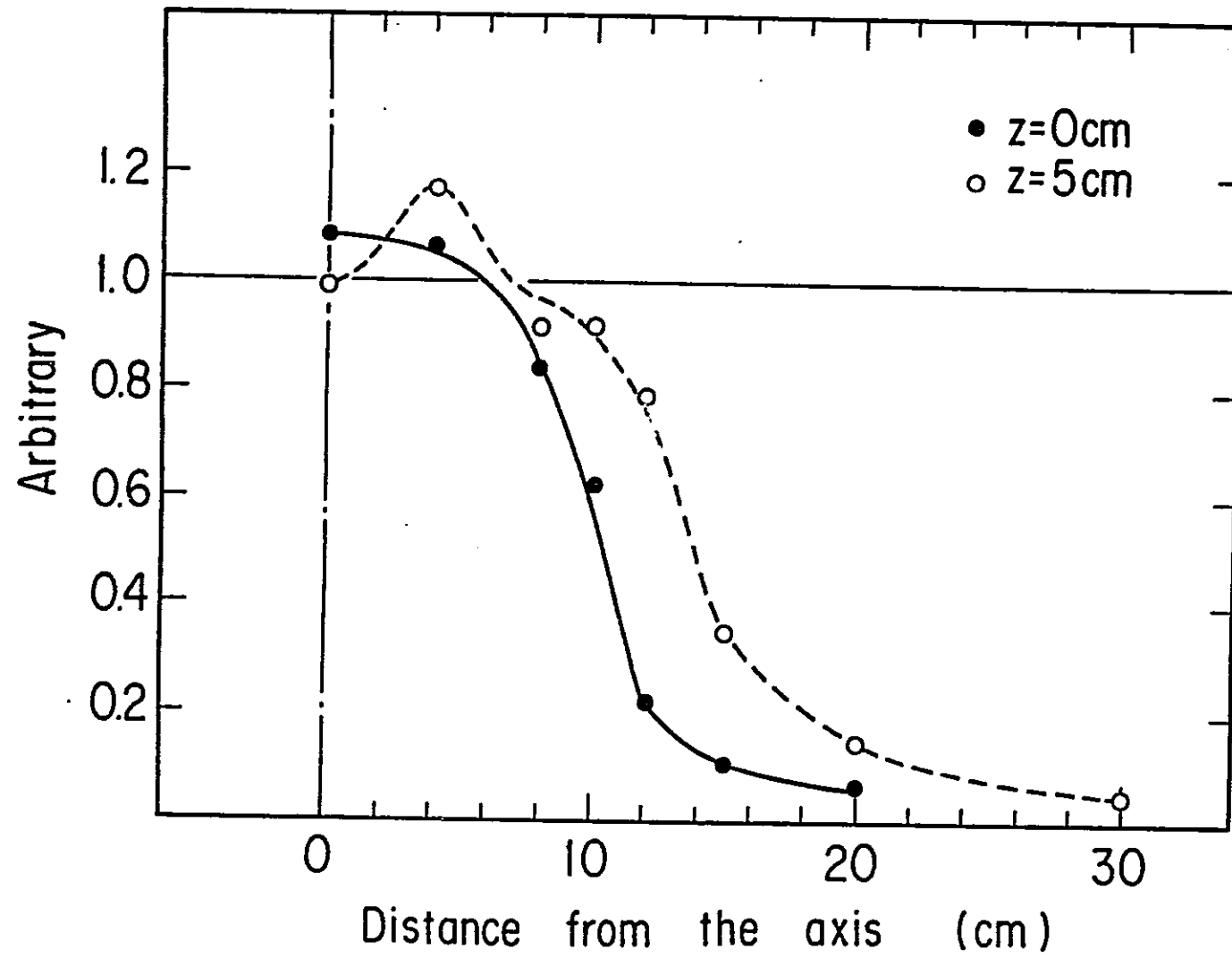


図9. カドミウムカバ-付金箱の反応率の分布(線源面及び5cm離れた面)

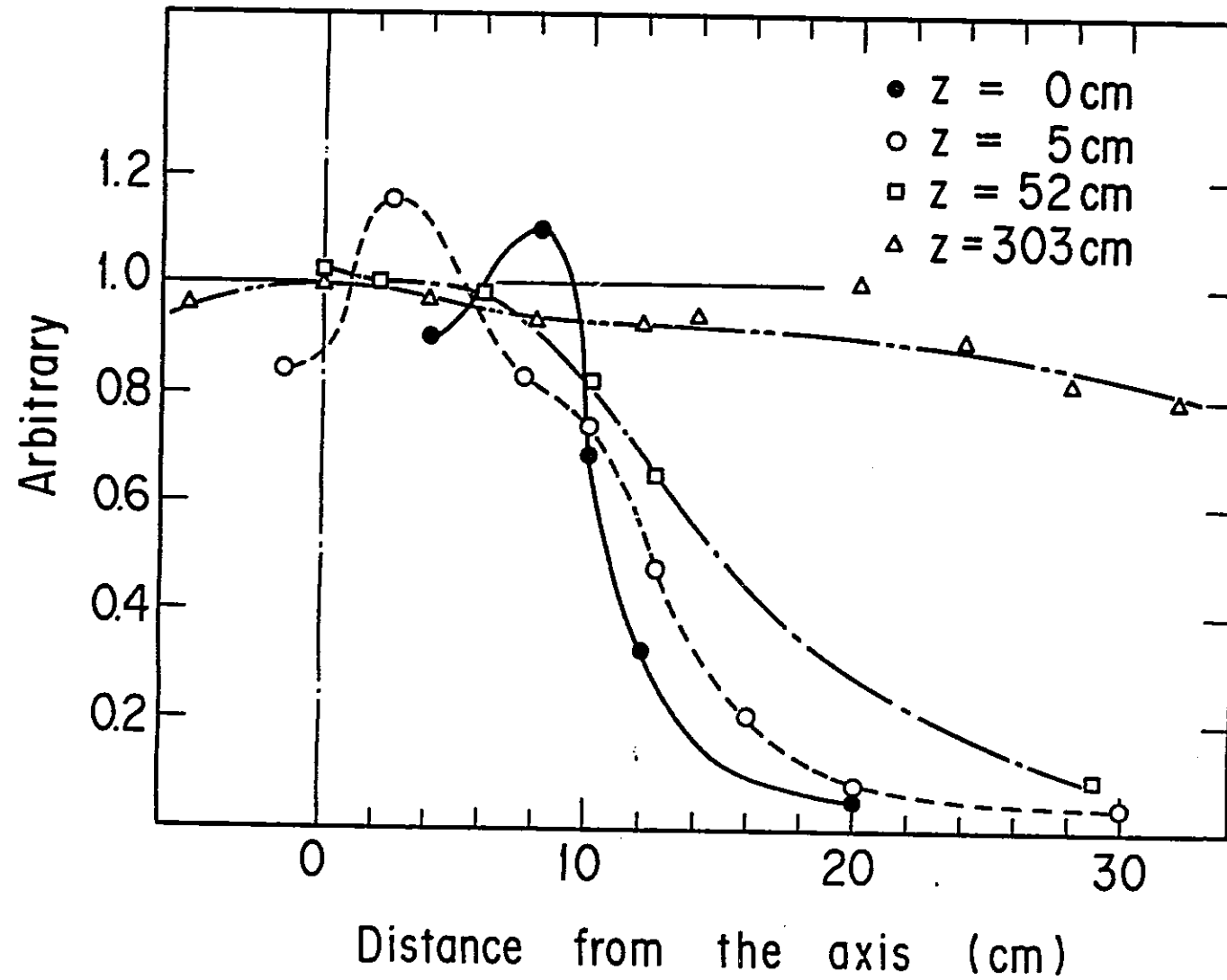


図10カドミウムカバ-無の金箔の反応率分布

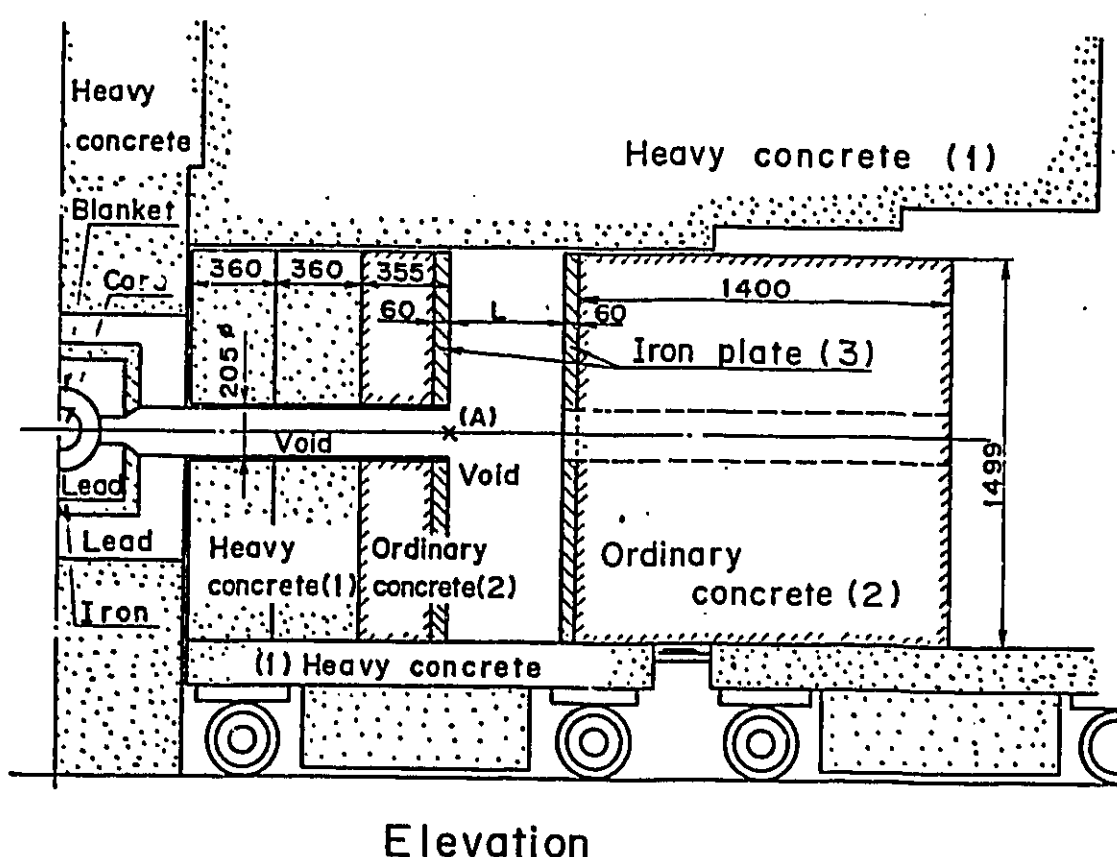
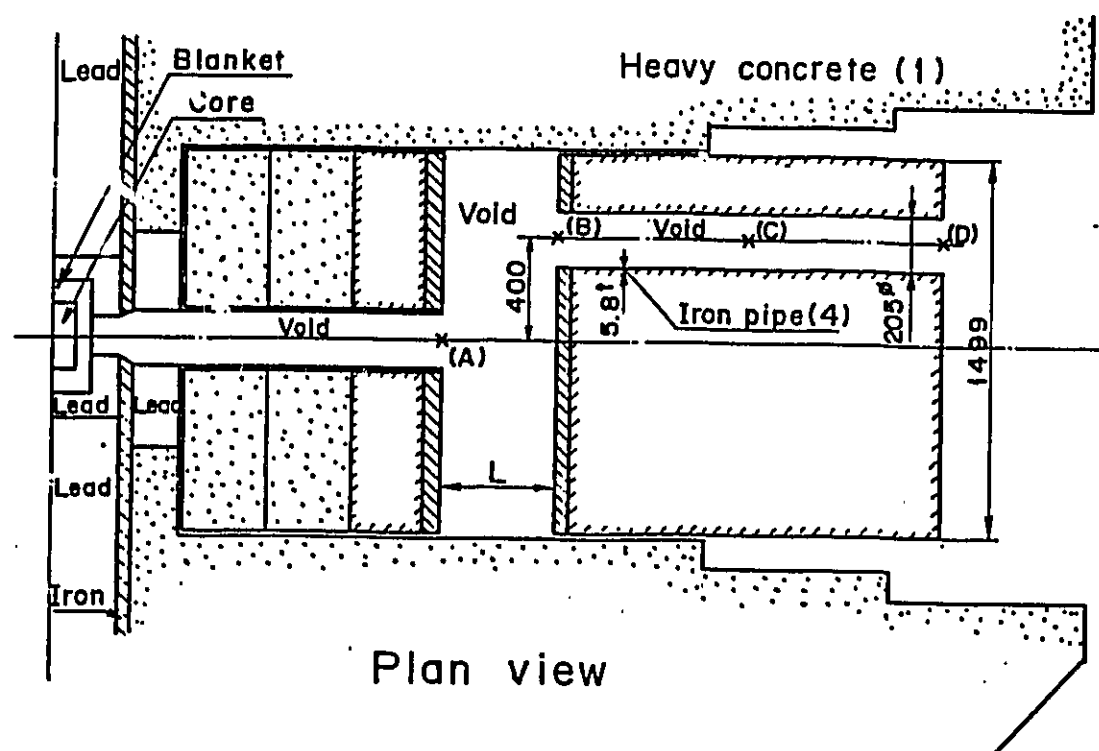


Fig. 11 Experimental arrangement of the Slit-duct geometry.